

UNIVERSITÉ FRANÇOIS – RABELAIS DE TOURS

ÉCOLE DOCTORALE « Sciences de l'Homme et de la Société »

UMR 7324 CITERES-LAT

THÈSE présentée par :

Daniel MORLEGHEM

soutenue le : 16 décembre 2016

pour obtenir le grade de : **Docteur de l'université François – Rabelais de Tours**

Discipline/ Spécialité : Histoire, spécialité Archéologie

Production et diffusion des sarcophages de pierre de l'Antiquité tardive et du haut Moyen Âge dans le Sud du Bassin parisien

Volume 2 : Illustrations liées au texte

THÈSE dirigée par :

Monsieur SEIGNE Jacques

Directeur de recherche émérite CNRS, UMR 7324 CITERES

RAPPORTEURS :

Monsieur DIERKENS Alain
Madame CARTRON Isabelle

Professeur, Université Libre de Bruxelles, Belgique
Professeure, Université de Bordeaux, UMR 5607 Institut Ausonius

JURY :

Monsieur BESSAC Jean-Claude
Madame CARTRON Isabelle
Monsieur DIERKENS Alain
Monsieur GELY Jean-Pierre
Madame LORANS Elisabeth
Monsieur SEIGNE Jacques

Ingénieur de recherche honoraire, UMR 5140
Professeure, Université de Bordeaux, UMR 5607 Institut Ausonius
Professeur, Université Libre de Bruxelles, Belgique
Géologue, chercheur associé, UMR 8589 LAMOP
Professeure, Université de Tours, UMR 7324 CITERES
Directeur de recherche émérite CNRS, UMR 7324 CITERES

FIGURES LIEES AU TEXTE

Figures du chapitre 2

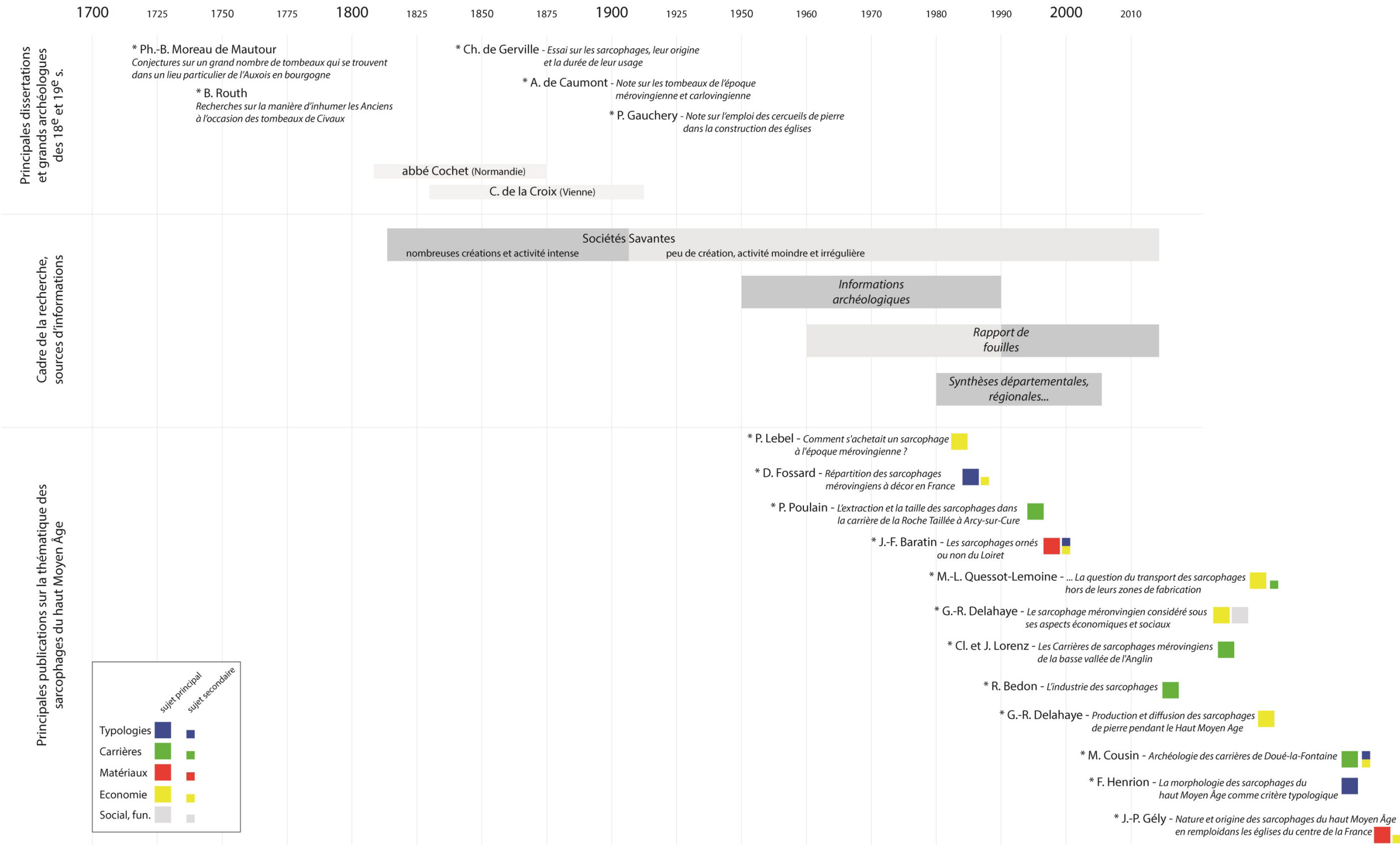


Fig. 133 : Principales recherches et publications concernant les sarcophages de pierre du haut Moyen Âge depuis le 18^e s.

Figures du chapitre 3

| | | | |
|--|---|--|--|
| Temps de l'étude | Recherche documentaire | | |
| | Phase de terrain | | |
| | Traitement et analyse des données | | |
| Objectifs | Bilan historiographique Etat de la documentation Pré-inventaire des données Mise au point d'outils d'enregistrement et d'analyse | Collecte des données Constitution du corpus | Monographies de sites Synthèse / rédaction du mémoire |
| Moyens, informations, ressources, etc. | Base de données Malraux, des MH, des SRA Dépouillement de revues, de rapports d'opération, etc. Contacts Sociétés savantes Musées Archéologues Particuliers | Sarcophages Prospections Observations Enregistrement Carrières Prospections Etude archéologique Relevés | Confrontation des données Traitement statistique et multicritère Cartographie sarcophages <=> sites funéraires sarcophages <=> matériaux sarcophages <=> carrières sites funéraires <=> sarcophages <=> typologie <=> matériaux <=> carrières carrières <=> sarcophages carrières <=> sites funéraires |
| Outils | Fiches d'enregistrement v.1 Elaboration d'une base de données (CAeSAR) Elaboration d'une typologie | Fiches v.2 Constitution d'une lithothèque | Fiches v.3 |

Fig. 134 : Chronologie, objectifs, ressources et outils de la chaîne opératoire de la thèse

| | | | |
|-------------------|--|---|--|
| Site n° | | Fiche de Sarcophage | |
| N° Sép. du site : | | Num : | |
| Découverte | Eléments retrouvés | Date de la découverte | Eléments conservés |
| | <input type="checkbox"/> cuve <input type="checkbox"/> couvercle | | <input type="checkbox"/> cuve <input type="checkbox"/> couvercle <input type="radio"/> oui <input type="radio"/> non |
| Description | Circonstance de la découverte | | Observés |
| | <input type="radio"/> fouille <input type="radio"/> fortuite <input type="radio"/> prospection <input type="radio"/> sondage <input type="radio"/> isolée <input type="radio"/> mention | | <input type="radio"/> oui <input type="radio"/> non |
| Croquis, dessins | Type général | Datation | Borne 1 |
| | | | Borne 2 |
| Documents | Réemployé | Mobilier associé | Siècles |
| | <input type="radio"/> oui <input type="radio"/> non <input type="radio"/> indéterminé | <input type="radio"/> oui <input type="radio"/> non | |
| Commentaires | | Bibliographie | |
| Graphique n°: | | Auteur de la fiche : | |
| Photos : | | Date de la fiche : | |
| Commentaires | | Informatisée : <input type="checkbox"/> | |

D. Morleghem (LAT / UMR 6173 CITERES / Univ. Tours-CNRS) - fiche v1.2 - 2011

| | | | |
|--|---|--------------------|--------------------|
| Sarcophage - dessin schématique | | | |
| N° Sarco. : | | | |
| Asymétrique droit | Couvercle | Asymétrique gauche | Couvercle |
| | | | |
| Symétrique | Couvercle | Symétrique | Couvercle |
| | | | |
| Graphique n°: | Auteur de la fiche : | | Date de la fiche : |
| Photos : | Informatisée : <input type="checkbox"/> | | |

D. Morleghem (LAT / UMR 6173 CITERES / Univ. Tours-CNRS) - fiche v1.2 - 2011

| | | | | |
|-----------------|--|--|---|---|
| Sarco. n°: | | Fiche de Cuve | | Gruppe 1 |
| | | | | Gruppe 2 |
| Matériau | Prélèvement | | | <input type="radio"/> oui <input type="radio"/> non |
| | Cuve monolithique ou bipartite | | | |
| Description | Etat de conservation | | Couleur | |
| | <input type="radio"/> monolithique <input type="radio"/> bipartite <input type="radio"/> Autre | | <input type="radio"/> entier <input type="radio"/> fragmenté | |
| Dimensions | Description générale de la cuve | | | |
| | Décor <input type="radio"/> oui <input type="radio"/> non | | | |
| Traces d'outils | Symétrique | | Angles droits | |
| | <input type="radio"/> oui <input type="radio"/> non | | <input type="checkbox"/> pied droit <input type="checkbox"/> tête droite <input type="checkbox"/> pied gauche <input type="checkbox"/> tête gauche | |
| Documents | Loge céphalique | | Fond | |
| | <input type="radio"/> oui <input type="radio"/> non | | <input type="checkbox"/> plat <input type="checkbox"/> régulier <input type="checkbox"/> en pente <input type="checkbox"/> irrégulier | |
| Graphique n°: | | Auteur de la fiche : | | Date de la fiche : |
| Photos : | | Stat. exploit.: | | Informatisée : <input type="checkbox"/> |
| Commentaires | | oui <input type="checkbox"/> non <input type="checkbox"/> part. <input type="checkbox"/> | | |

D. Morleghem (LAT / UMR 6173 CITERES / Univ. Tours-CNRS) - fiche v1.2 - 2011

| | | | | |
|-----------------|---|--|---|---|
| Sarco. n°: | | Fiche de Couvercle | | Gruppe 1 |
| | | | | Gruppe 2 |
| Matériau | Prélèvement | | | <input type="radio"/> oui <input type="radio"/> non |
| | Description générale du couvercle | | | |
| Description | Etat de conservation | | Couleur | |
| | <input type="radio"/> monolithique <input type="radio"/> bipartite <input type="radio"/> Autre | | <input type="radio"/> entier <input type="radio"/> fragmenté | |
| Dimensions | Symétrique | | Section | |
| | <input type="radio"/> oui <input type="radio"/> non | | <input type="radio"/> bombé <input type="radio"/> rectangulaire <input type="radio"/> en bâtière | |
| Traces d'outils | Angles droits | | Creusement interne | |
| | <input type="checkbox"/> pied droit <input type="checkbox"/> tête droite <input type="checkbox"/> pied gauche <input type="checkbox"/> tête gauche | | <input type="radio"/> oui <input type="radio"/> non | |
| Documents | Décor | | Inscription | |
| | <input type="radio"/> oui <input type="radio"/> non | | <input type="radio"/> oui <input type="radio"/> non | |
| Graphique n°: | | Auteur de la fiche : | | Date de la fiche : |
| Photos : | | Stat. exploit.: | | Informatisée : <input type="checkbox"/> |
| Commentaires | | oui <input type="checkbox"/> non <input type="checkbox"/> part. <input type="checkbox"/> | | |

D. Morleghem (LAT / UMR 6173 CITERES / Univ. Tours-CNRS) - fiche v1.2 - 2011

Fig. 135 : Fiches d'enregistrement correspondant aux formulaires de la base de données

| | | |
|---|-----------|--------------------|
| FICHE DE CUVE | | Sarcophage : |
| | | ID_cuve : |
| Vue en plan | | |
| Coupe longitudinale | | |
| | | |
| | Extérieur | Intérieur |
| <small>D. Morlighem - Equipe LAT / UMR 7324 CITERES (CNRS / Univ. Tours) - 2012</small> | | |

| | | |
|---|--|----------------------|
| FICHE DE COUVERCLE | | Sarcophage : |
| | | ID_couvercle : |
| Dessus du couvercle | | |
| Dessous du couvercle | | |
| <small>D. Morlighem - Equipe LAT / UMR 7324 CITERES (CNRS / Univ. Tours) - 2012</small> | | |

Fig. 136: Fiches d'enregistrement minimaliste des cuves et des couvercles

| | | | | | | |
|-------------------------------|--|-----------------------|---|--|--|------------------------------------|
| Fiche de sarcophage | Sarcophage n° : | Typologie | Cuve : | Conservation | Blocs | Etat |
| | Cuve n° : | | Couvercle : | | Cu Co | Cu Co |
| | Couvercle n° : | | | | <input type="checkbox"/> Entier | <input type="checkbox"/> Moyen |
| | | | | | <input type="checkbox"/> Archéo. complet | <input type="checkbox"/> Mauvais |
| | | | | | <input type="checkbox"/> Partiel | <input type="checkbox"/> |
| | | | | | <input type="checkbox"/> Fragment | <input type="checkbox"/> |
| Contexte archéologique | Commune : | Inhumation(s) : | | | | |
| | Lieu-dit : | | | | | |
| | Nom du site : | | | | | |
| | N° du site : | | | | | |
| | Contexte stratigraphique et fouille n° fait/sép. : | | | | | |
| | | Mobilier : | Datation proposée : | | | |
| | | | | | | |
| Cuve | <input type="checkbox"/> Remplai de bloc(s) antique(s) | | Morphologie | | Angles droits | |
| | | | <input type="checkbox"/> Monolithe | <input type="checkbox"/> Bipartite | <input type="checkbox"/> Trapézoïdal | <input type="checkbox"/> Rectangle |
| | | | <input type="checkbox"/> Symétrique | <input type="checkbox"/> Asymétrique | Pans | |
| | | | Aménagement | | Pans coupés | |
| | | | <input type="checkbox"/> Logette céphalique | <input type="checkbox"/> Coussin céphalique | Section transversale : | |
| | | | <input type="checkbox"/> Trou d'évacuation | <input type="checkbox"/> Chanfrein | Section longitudinale : | |
| | | | <input type="checkbox"/> Ciselure | <input type="checkbox"/> Décor : | | |
| | | | <input type="checkbox"/> Inscription : | | | |
| Couvercle | <input type="checkbox"/> Remplai de bloc(s) antique(s) | | Morphologie | | Angles droits | |
| | | | <input type="checkbox"/> Monolithe | <input type="checkbox"/> Bipartite | <input type="checkbox"/> Trapézoïdal | <input type="checkbox"/> Rectangle |
| | | | <input type="checkbox"/> Symétrique | <input type="checkbox"/> Asymétrique | Dessous | |
| | | | Aménagement : | | Evidé | |
| | | | <input type="checkbox"/> Arête centrale | <input type="checkbox"/> Bourrelet central | prof. : | |
| | | | <input type="checkbox"/> Pans coupés | <input type="checkbox"/> Ciselure | largeur parois lat. : | |
| | | | Section | | largeur parois ext. : | |
| | | | <input type="checkbox"/> Plat | <input type="checkbox"/> Chanfrein | | |
| | | | <input type="checkbox"/> Arrondi | <input type="checkbox"/> Décor : | | |
| | | | <input type="checkbox"/> En bâtière | <input type="checkbox"/> Inscription : | | |
| | | | <input type="checkbox"/> A trois pans | | | |
| | | | <input type="checkbox"/> Mixte (plat à bâtière) | | | |

Dimensions en cm ; mettre un "x" si la mesure est incomplète

| | | | | |
|--------------------------------|---|---|---|--|
| Technologie des blocs | Cuve | | Couvercle | |
| | Facture | Extraction | Facture | Extraction |
| | <input type="checkbox"/> grossière | <input type="checkbox"/> Encoignure | <input type="checkbox"/> grossière | <input type="checkbox"/> Encoignure |
| | <input type="checkbox"/> simple (normale) | <input type="checkbox"/> Emboiture | <input type="checkbox"/> simple (normale) | <input type="checkbox"/> Emboiture |
| | <input type="checkbox"/> soignée | <input type="checkbox"/> | <input type="checkbox"/> soignée | <input type="checkbox"/> |
| | Traitement du bloc / taille | | Traitement du bloc / taille | |
| | <input type="checkbox"/> brute de carrière | <input type="checkbox"/> reprise totale | <input type="checkbox"/> taille soignée | <input type="checkbox"/> brute de carrière |
| | <input type="checkbox"/> reprise partielle | <input type="checkbox"/> taille grossière | <input type="checkbox"/> taille esthétique | <input type="checkbox"/> reprise totale |
| | | | | <input type="checkbox"/> taille soignée |
| | | | | <input type="checkbox"/> reprise partielle |
| | | | | <input type="checkbox"/> taille grossière |
| | | | | <input type="checkbox"/> taille esthétique |
| | Outils (préciser la largeur des tranchants si possible) | | Outils (préciser la largeur des tranchants si possible) | |
| | <input type="checkbox"/> Pic de carrier | <input type="checkbox"/> Ciseau | <input type="checkbox"/> Pic de carrier | <input type="checkbox"/> Ciseau |
| | <input type="checkbox"/> Pic fin | <input type="checkbox"/> | <input type="checkbox"/> Pic fin | <input type="checkbox"/> |
| | <input type="checkbox"/> Marteau taillant | <input type="checkbox"/> | <input type="checkbox"/> Marteau taillant | <input type="checkbox"/> |
| | <input type="checkbox"/> Polka | <input type="checkbox"/> | <input type="checkbox"/> Polka | <input type="checkbox"/> |
| Aspects pétrographiques | Cuve | | Couvercle | |
| | Description : | | Description : | |
| | Identification : | | Identification : | |
| | Origine : | | Origine : | |
| | <input type="checkbox"/> Prélèvement : | | <input type="checkbox"/> Prélèvement : | |
| | <input type="checkbox"/> Obs. macro avec cassure | | <input type="checkbox"/> Obs. macro avec cassure | |
| | <input type="checkbox"/> Obs. macro sans cassure | | <input type="checkbox"/> Obs. macro sans cassure | |
| Documents | Graphique n° : | Commentaires : | | Auteur de la fiche : |
| | Photos : | | | Date de la fiche : |
| | | | | Informatisée : <input type="checkbox"/> |

D. Monteghem - Equipe LAT / UMR 7324 CITERES (CNRS / Univ. Tours) - 2013

Fig. 137 : Fiches d'enregistrement synthétique des cuves et des couvercles

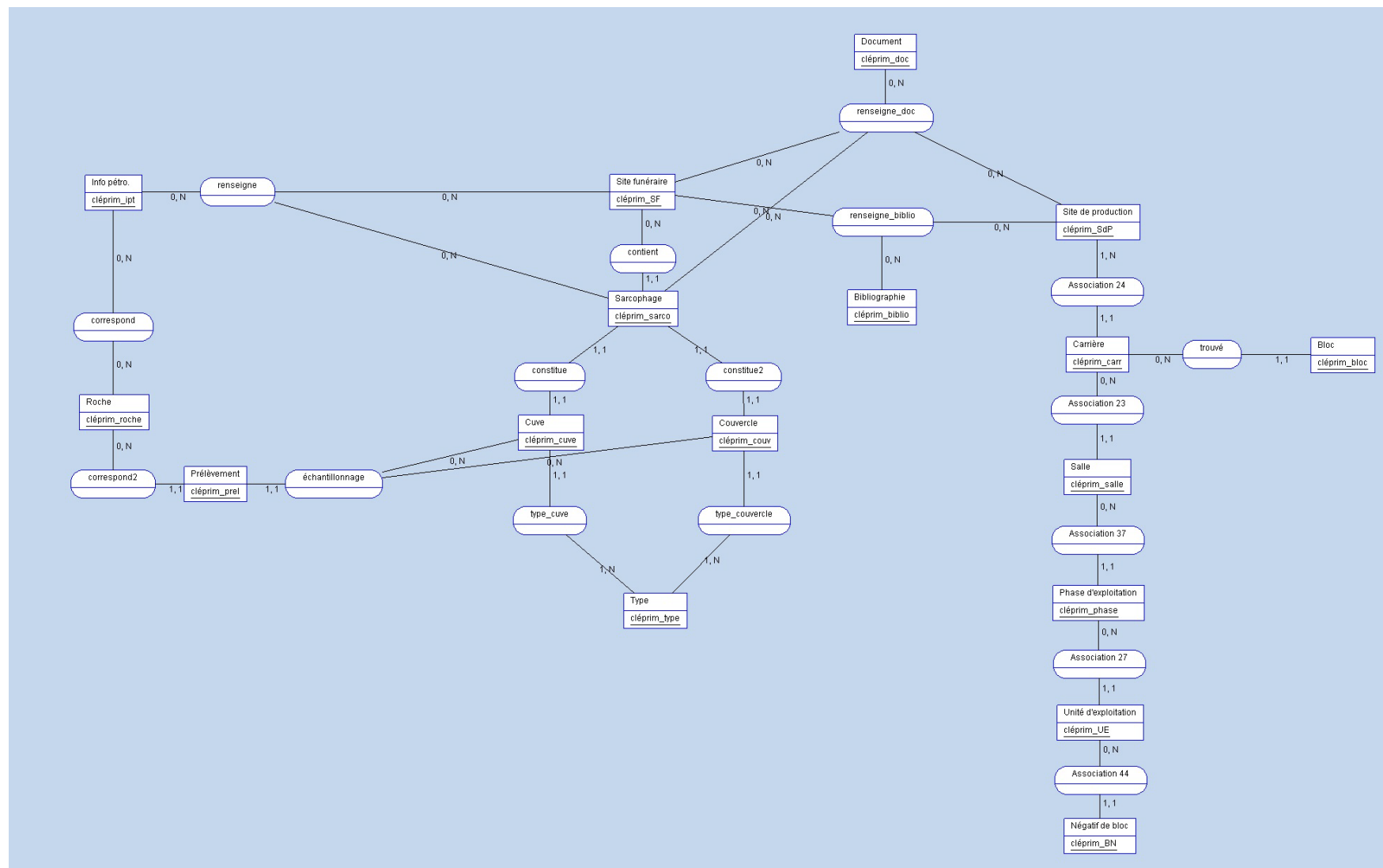


Fig. 138 : Modèle conceptuel de données (simplifié) de la base CAESAR

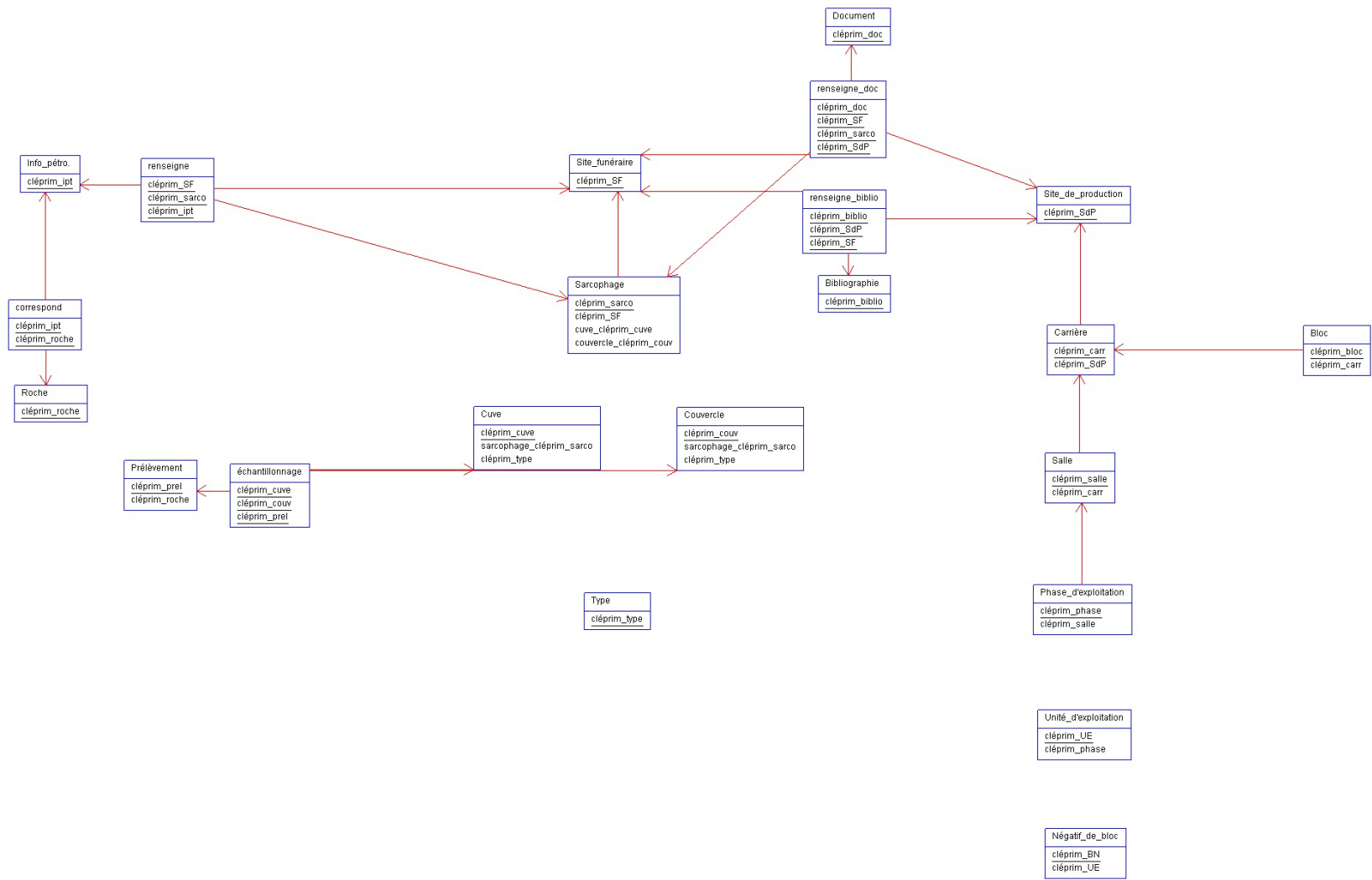


Fig. 139 : Modèle logique de données (simplifié) de la base CAESAR

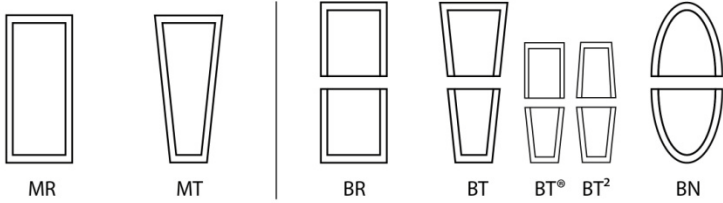
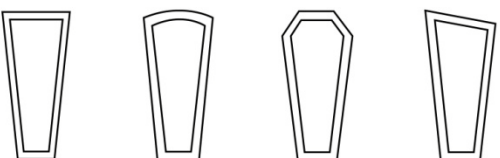
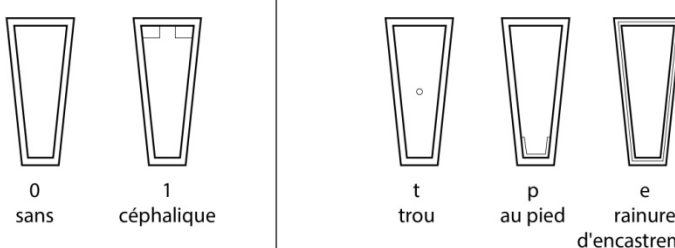
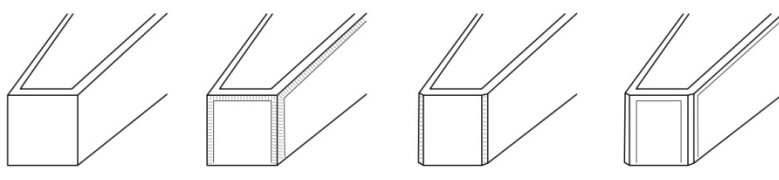
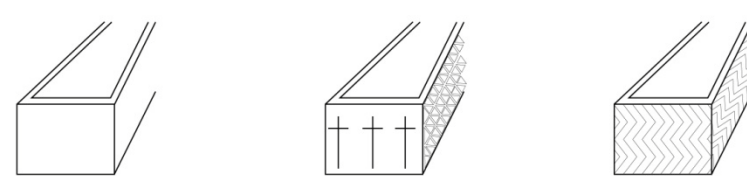
| | Schéma et code de l'élément | Variantes |
|------------------|---|--|
| Forme en plan |  <p>MR MT BR BT BT* BT² BN</p> <p>Cuve Forme générale M : monolithe R : rectangulaire B : bipartite T : trapézoïdal (variantes T* et T²) N : naviforme</p> | r : cuve employant un ou deux blocs antiques |
| Chevet |  <p>1 plat 2 arrondi 3 à pans coupés 4 de biais</p> | |
| Aménagement | <p>Primaire Secondaire</p>  <p>0 sans 1 céphalique t trou p au pied e rainure d'encastrement</p> | Type d'aménagement précisé en second lieu |
| Taille technique |  <p>0 sans 1 ciselure périphérique 2 chanfreins 3 les deux</p> | |
| Ornementation |  <p>0 sans 1 décor 2 taille décorative</p> | Type d'ornement précisé en second lieu |

Fig. 140: Catalogue des éléments « typologisant » des cuves

| | Schéma et code de l'élément | Variantes |
|---------------|---|---|
| Forme en plan | <p>MR MT BR BT</p> <p>Cuve M : monolithe B : bipartite</p> <p>Forme générale R : rectangulaire T : trapézoïdal</p> | r : cuve employant un ou deux blocs antiques |
| Chevet | <p>1 plat 2 arrondi 3 à pans coupés 4 de biais</p> | |
| Section | <p>1 1.5 2 2.5 3 4 4.5</p> | e : dessous évidé a : aménagement c : chevet ou pied biseauté/coupé r : ressaut (périphérique) |
| Ornementation | <p>0 - sans</p> <p>1 - avec</p> <p>2 - taille décorative</p> <p>a traverses géométrique b c croix F figuré antique s stries</p> | chaque type de décor peut connaître plusieurs variantes, qui sont renseignés par ailleurs |

Fig. 141: Catalogue des éléments « typologisant » des couvercles

Figures du chapitre 5

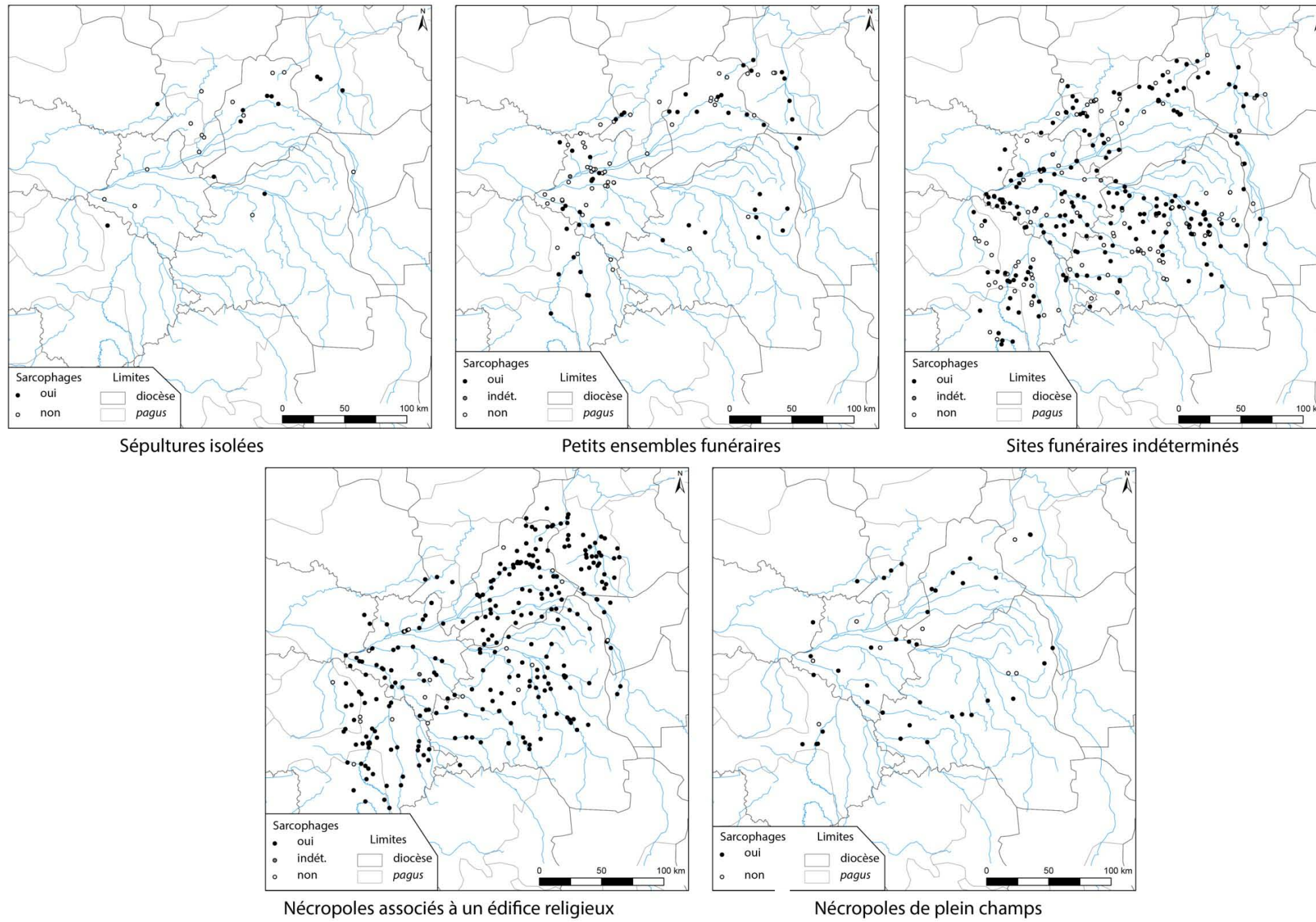


Fig. 142 : Répartition des sites funéraires suivant leur type

Figures du chapitre 6

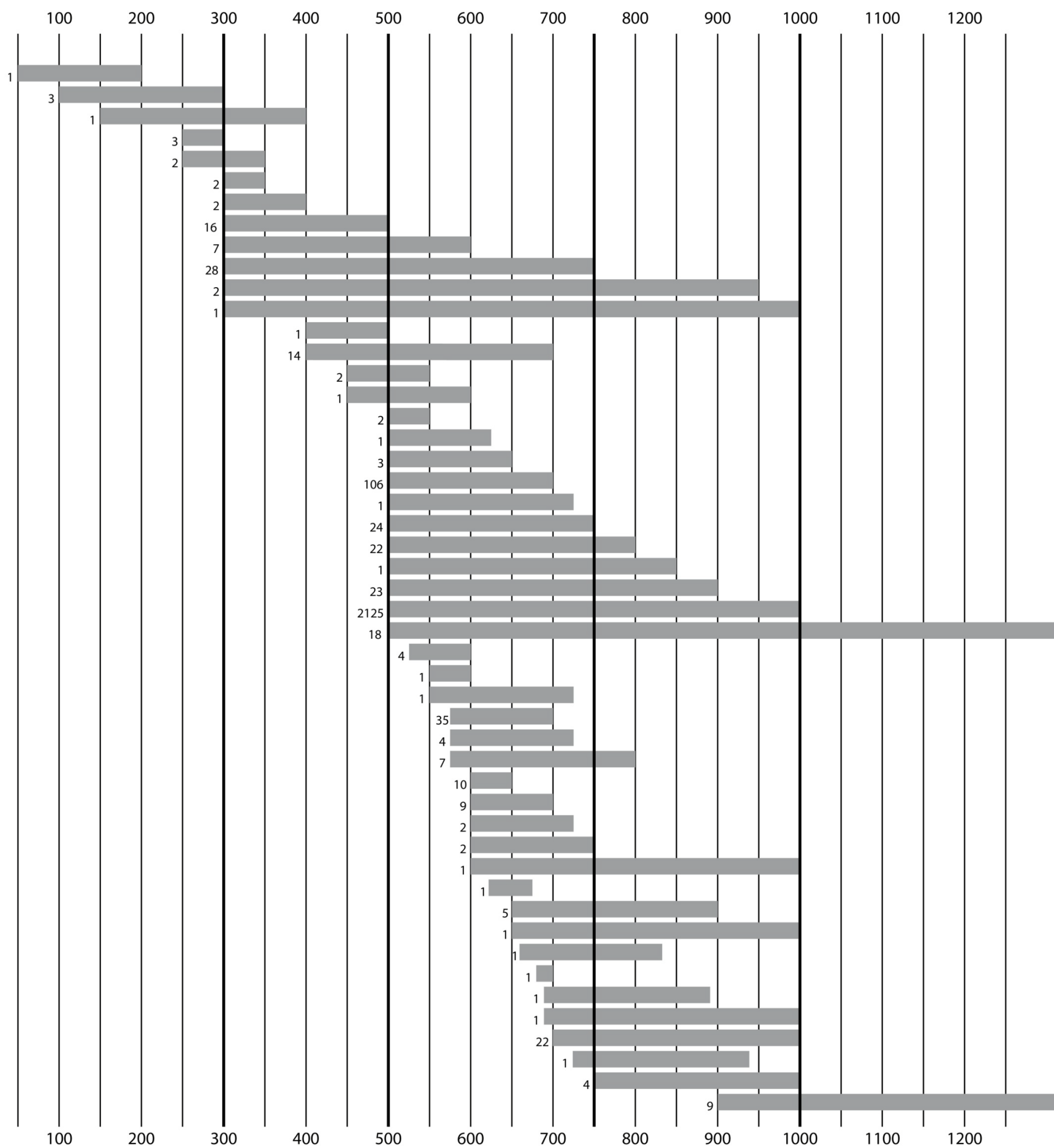


Fig. 143 : Chronologie des sarcophages étudiés

| Bloc | Plan | Chevet | Aménagement | | | | | | |
|------------------------------------|---------------------------|---------------|-------------|------------|-------|---------|----------|-------|---|
| Bipartite | Naviforme | Plat | - | 1 (1) | | | r 1 (1) | | |
| | Rectangulaire | Plat | - | 7 (3) | | | r 18 (8) | | |
| | | | amc | - | | | r 1 (1) | | |
| | Trapézoïdal | Plat | - | 59 (28) | | | r 3 (3) | | |
| | | | amc | 3 (2) | | | r 1 (1) | | |
| | | A pans coupés | - | 1 (1) | | | r 1 (1) | | |
| A pans coupés à la tête et au pied | | - | 1 (1) | | | r - | | | |
| Deux blocs trapézoïdaux | Plat | - | - | | | r 1 (1) | | | |
| Monolithe | Rectangulaire | Plat | - | 50 (26) | | | r 11 (9) | | |
| | | | amc | 4 (4) | amc+e | 1 (1) | | r - | |
| | Rectangulaire prismatique | Plat | - | 1 (1) | | | r - | | |
| | Trapézoïdal | Plat | - | 1170 (213) | | | r 4 (3) | | |
| | | | amc | 183 (41) | amc+e | 1 (1) | e | 1 (1) | t |
| | | Arrondi | - | 9 (7) | | | r - | | |
| | | amc | 2 (2) | | | r - | | | |
| | | A pans coupés | - | 4 (4) | | | r - | | |
| | De biais | - | 7 (4) | | | r - | | | |
| | A quatre pans | amc | 1 (1) | | | r - | | | |
| Trapézoïdal prismatique | Plat | - | 1 (1) | | | r - | | | |
| Bisôme | Plat | - | 1 (1) | | | r - | | | |
| | | amc + t | 2 (2) | | | r - | | | |

Fig. 144 : Tableau synthétique des types de cuves

Légende pour la partie « Aménagement »

- amc : aménagement céphalique
- e : système d'encastrement
- t : trou d'évacuation

Pour chaque type et sous-type est mentionné le nombre de blocs et entre parenthèse le nombre de sites funéraires concernés ; la ligne du bas et le r précise le nombre de blocs issus de remplois d'éléments antiques.

| Bloc | Plan | Chevet | Aménagement | | | | | |
|-----------|---------------|------------------------|--------------------|---|--------------------------|------------------------|---------------------|--------------------|
| Bipartite | Rectangulaire | Plat | - 5 (5) r 3 (1) | Monolithe | Rectangulaire | Plat | - 12 (5) r 1 (1) | |
| | | | évidé 1 (1) r - | | | | évidé 1 (1) r - | |
| | | Arrondi | - - r 3 (3) | | | Arrondi avec acrotères | - 4 (3) r 8 (5) | |
| | | Bâtière | - 1 (1) r - | | | | évidé 1 (1) r - | |
| | | à extrémités biseautés | - - r 1 (1) | | | à extrémités biseautés | - 3 (3) r - | |
| | A trois pans | - 1 (1) r - | - 1 (1) r - | | | | | |
| | | Plat | - 6 (6) r 1 (1) | | | à extrémités biseautés | - 1 (1) r - | |
| | | Arrondi | - 2 (2) r - | | | | hémicylindrique | - 1 (1) r - |
| | | | | | | | Bâtière | - 4 (4) r - |
| | | | | | | | méplat sommital | évidé 1 (1) r - |
| | | | | A trois pans | - 3 (3) r - | | | |
| | | | | | - 1059 (114) r 12 (3) | | | |
| | | | | Plat bandeau sommital | évidé 7 (2) r - | | | |
| | | | | à extrémités biseautés | - 1 (1) r - | | | |
| | | | | plat à bâtière | - 3 (3) r - | | | |
| | | | | | - 2 (2) r - | | | |
| | | | | | 126 (33) r 4 (1) | | | |
| | | | | Bombé | évidé 1 (1) r - | | | |
| | | | | hémicylindrique à bourrelet sommital | - 1 (1) r - | | | |
| | | | | replat aux extrémités | - 1 (1) r - | | | |
| | | | | à extrémités biseautés | - 4 (4) r 3 (2) | | | |
| | | | | | - 94 (44) r - | | | |
| | | | | | évidé 2 (2) r - | | | |
| | | | | à replat sommital | - 8 (5) r - | | | |
| | | | | Bâtière | évidé 1 (1) r - | | | |
| | | | | à replat sommital et extrémités biseautés | - 2 (2) r - | | | |
| | | | | à extrémités biseautés | évidé 1 (1) r - | | | |
| | | | | | - 21 (8) r 2 (1) | | | |
| | | | | | 41 (28) | | | |

Fig. 145 : Tableau synthétique des types de couvercles

| Type de décor | Variantes |
|-----------------------------|---|
| Sans | - 1486 (241) |
| | ciselure 21 (13) |
| | chanfrein 7 (6) |
| Indéterminé | - 2 (2) |
| Géométrique | - 2 (2) |
| Cruciforme | - 14 (13) |
| | avec motifs végétaux 2 (2) |
| | et géométrique 2 (2) |
| Stries | obliques, aternées, avec ou sans ciselure périphérique 11 (10) |
| | et croix à la tête 2 (2) |
| Hommes, animaux et roues | animaux seuls 2 (2) |
| | panneau de tête seul 1 (1) |
| | sur toutes les faces 1 (1) |
| Scène antique | - 8 (4) |
| <i>A tabula ansata</i> | - 1 (1) |

Fig. 146 : Tableau synthétique des sous-types de cuves

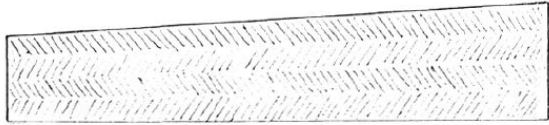


Fig. 147 : Panneau gauche du sarcophage 37_S0076



Fig. 148 : Panneau gauche du sarcophage 37_S0174



Fig. 149 : Panneau gauche du sarcophage 37_S0355



Fig. 150 : Panneau de pied du sarcophage 37_S0352



Fig. 151 : Panneau de tête du sarcophage 45_S0164



Fig. 152 : Panneau droit du sarcophage 45_S0164

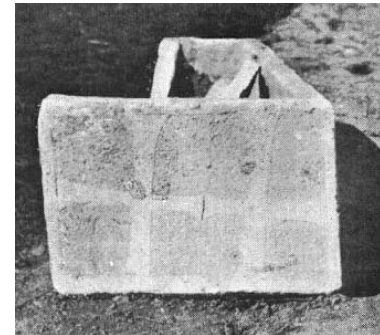


Fig. 153 : Panneau de tête du sarcophage 45_S0173

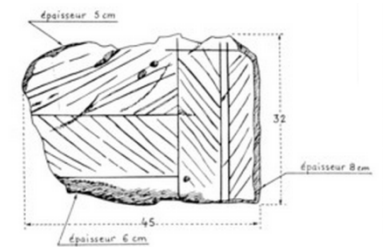


Fig. 154 : Fragment de panneau latéral du sarcophage 45_S0190

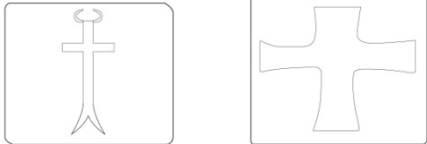
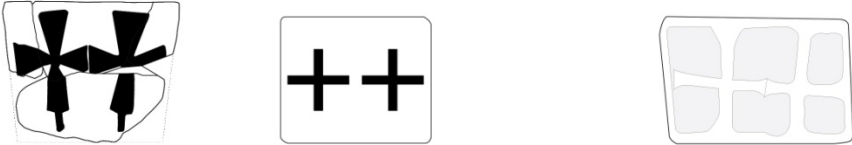
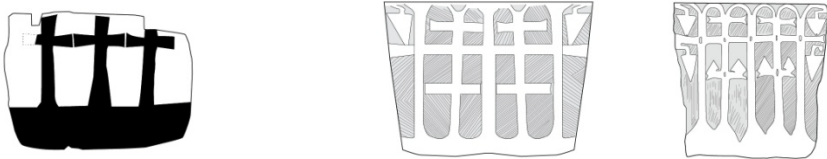
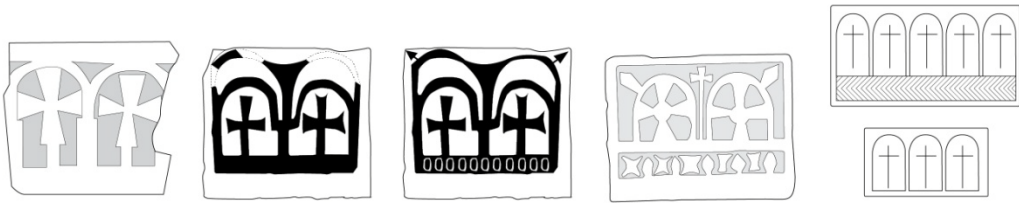
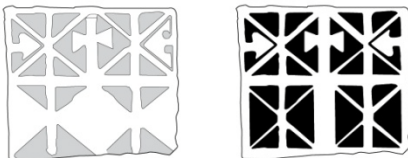
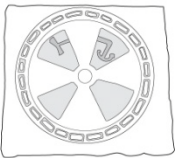

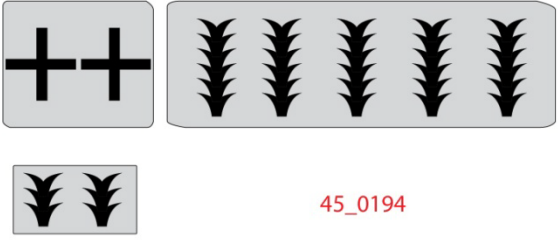
| | |
|--|---|
| <p>Croix unique</p>  <p>45_S0185-186 18_S0103</p> | <p>18_S0103 Décor observé ou renseigné par une photo, un dessin, etc. 18_S0022 Hypothèse de restitution du décor</p> <p>□ Plan du panneau ■ Evidement ■ Léger relief</p> |
| <p>Double croix</p>  <p>45_S0025 18_S0022 45_S0173</p> | |
| <p>Croix multiples</p>  <p>45_S0091 45_S0155 45_S0206</p> | |
| <p>Croix sous arcades</p>  <p>18_S0031 18_S0108 45_0205 18_S0069 18_S0080</p> | |
| <p>Croix et réseau losangé</p>  <p>18_S0093 45_0038</p> | <p>Croix cerclée</p>  <p>18_S0092</p> |
| <p>Croix et motif symbolique</p>  <p>86_S1111</p> | <p>Croix et motifs végétaux</p>  <p>45_0194</p> |

Fig. 155 : Décors cruciformes observés et/ou mentionnés sur les cuves

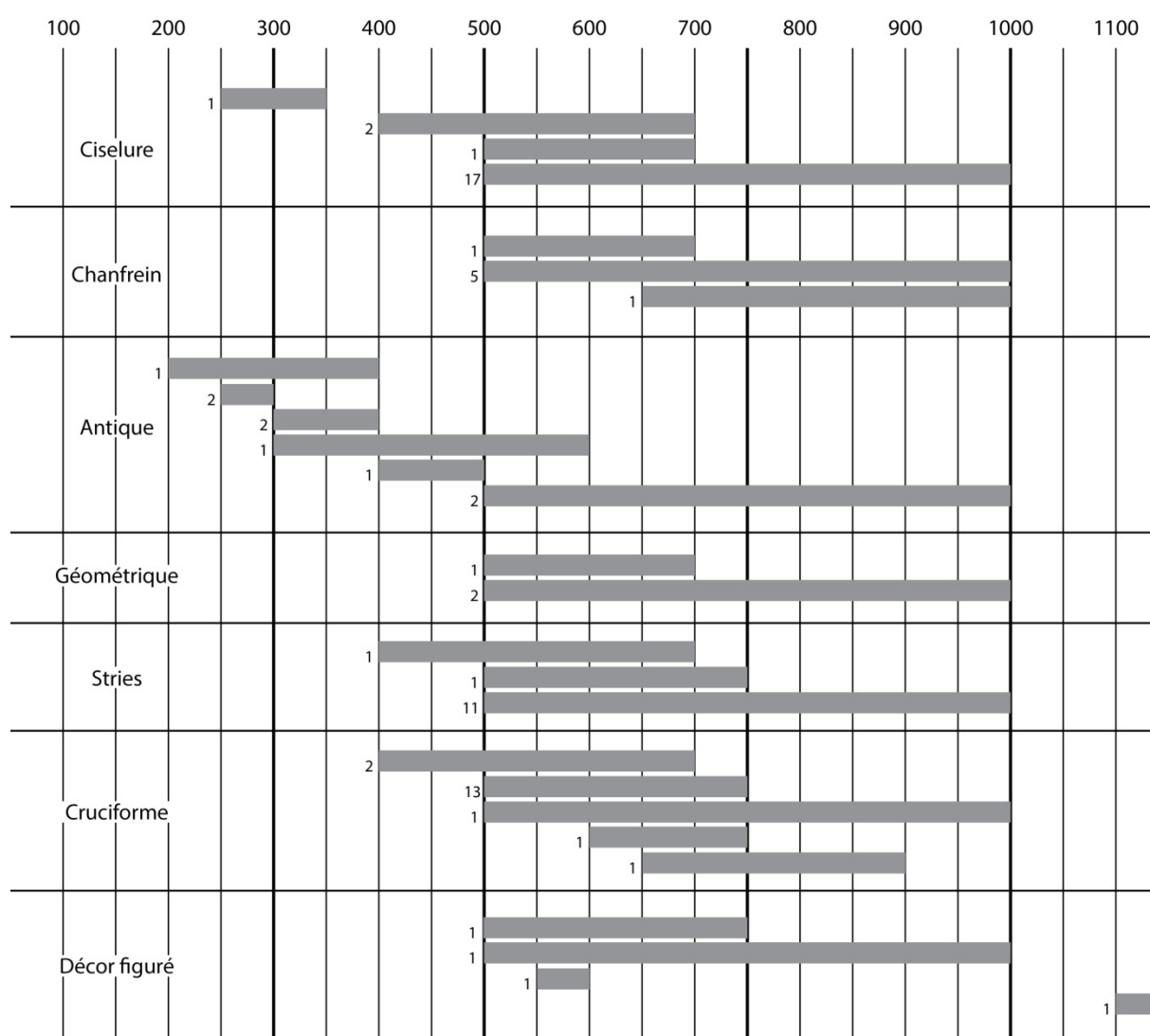


Fig. 156 : Chronologie des cuves présentant un décor ou un traitement particulier

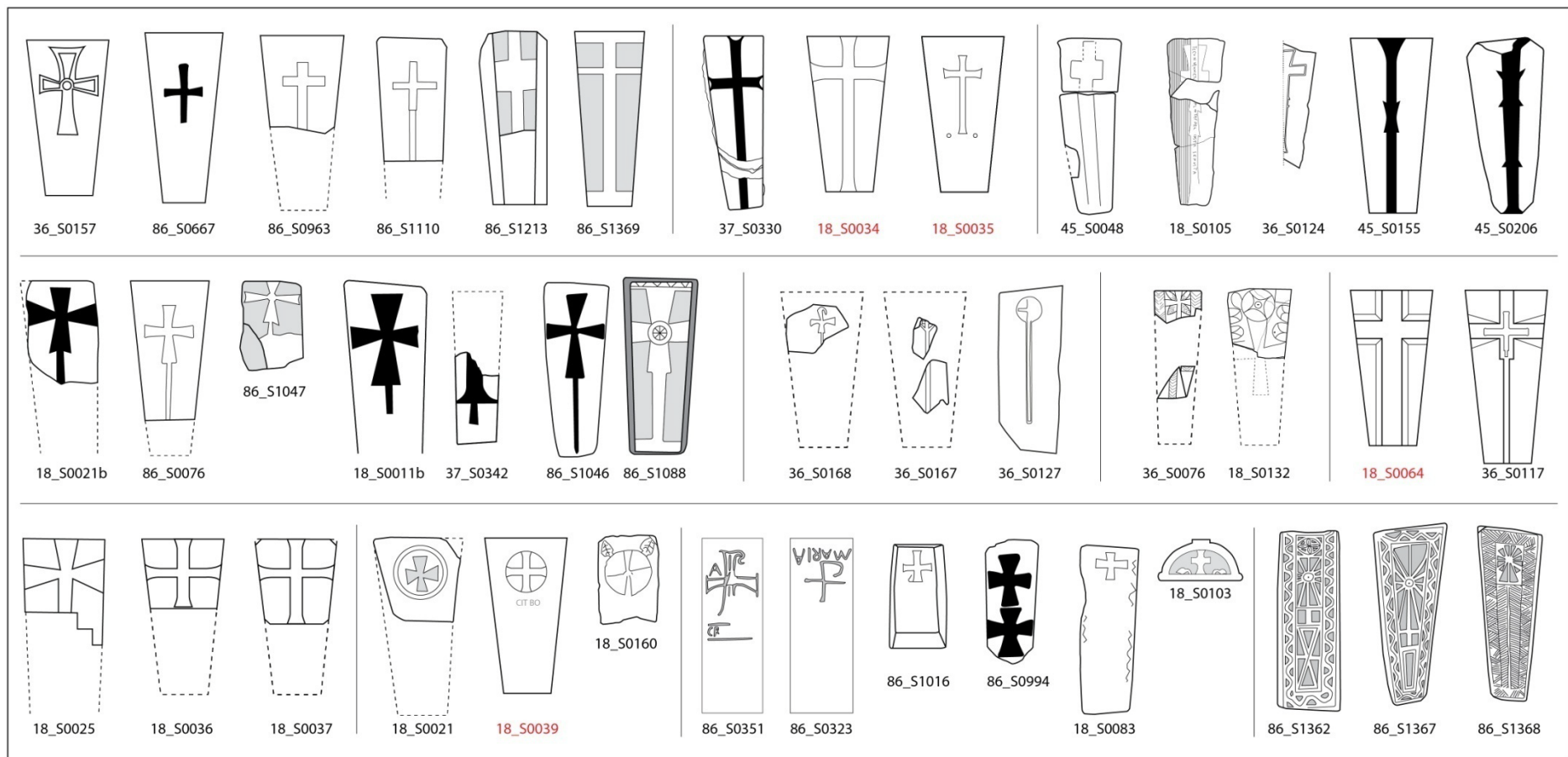


Fig. 157 : Couvertures à décor principal cruciforme

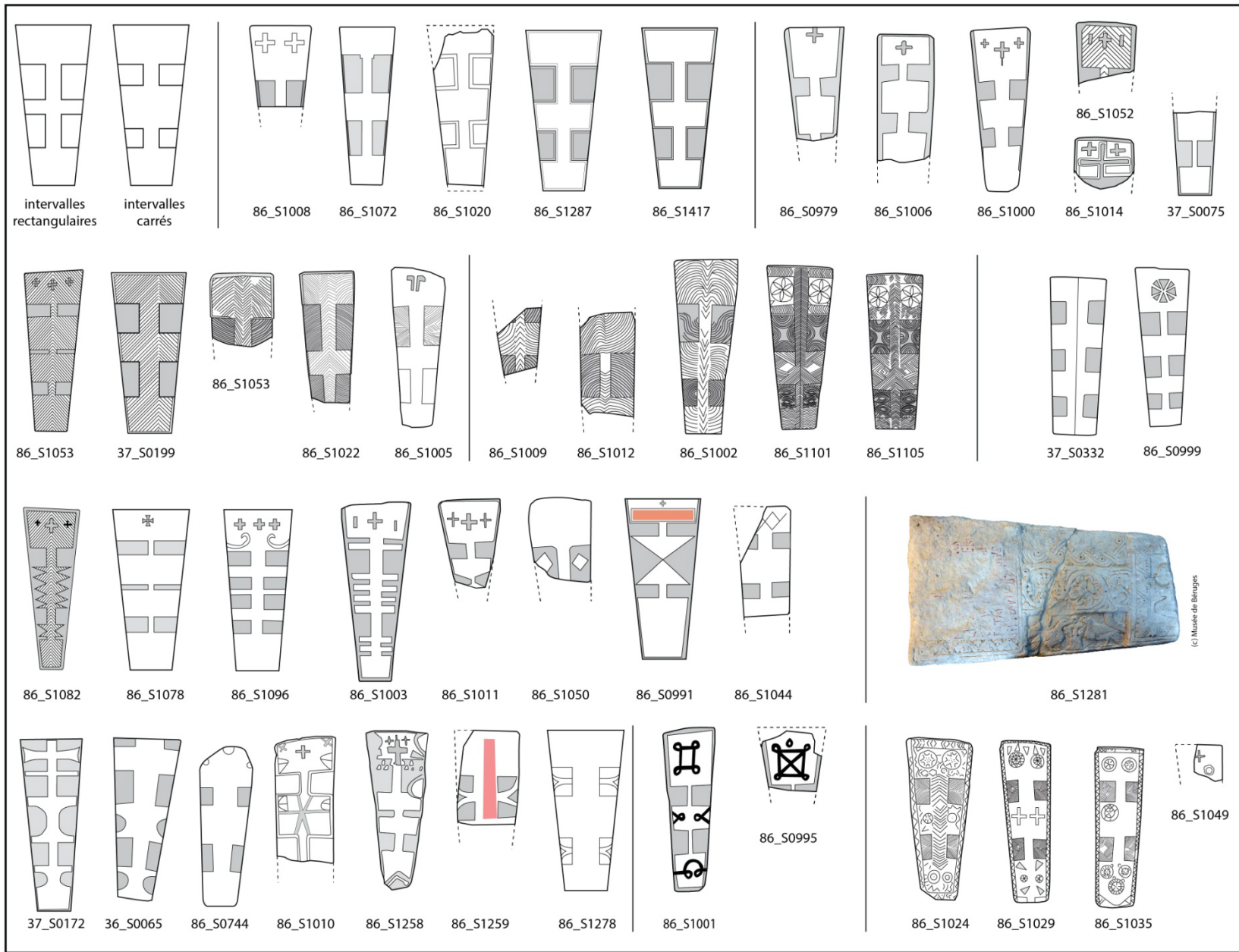


Fig. 158:
Couvercle dont
le décor est à
base de
traverses

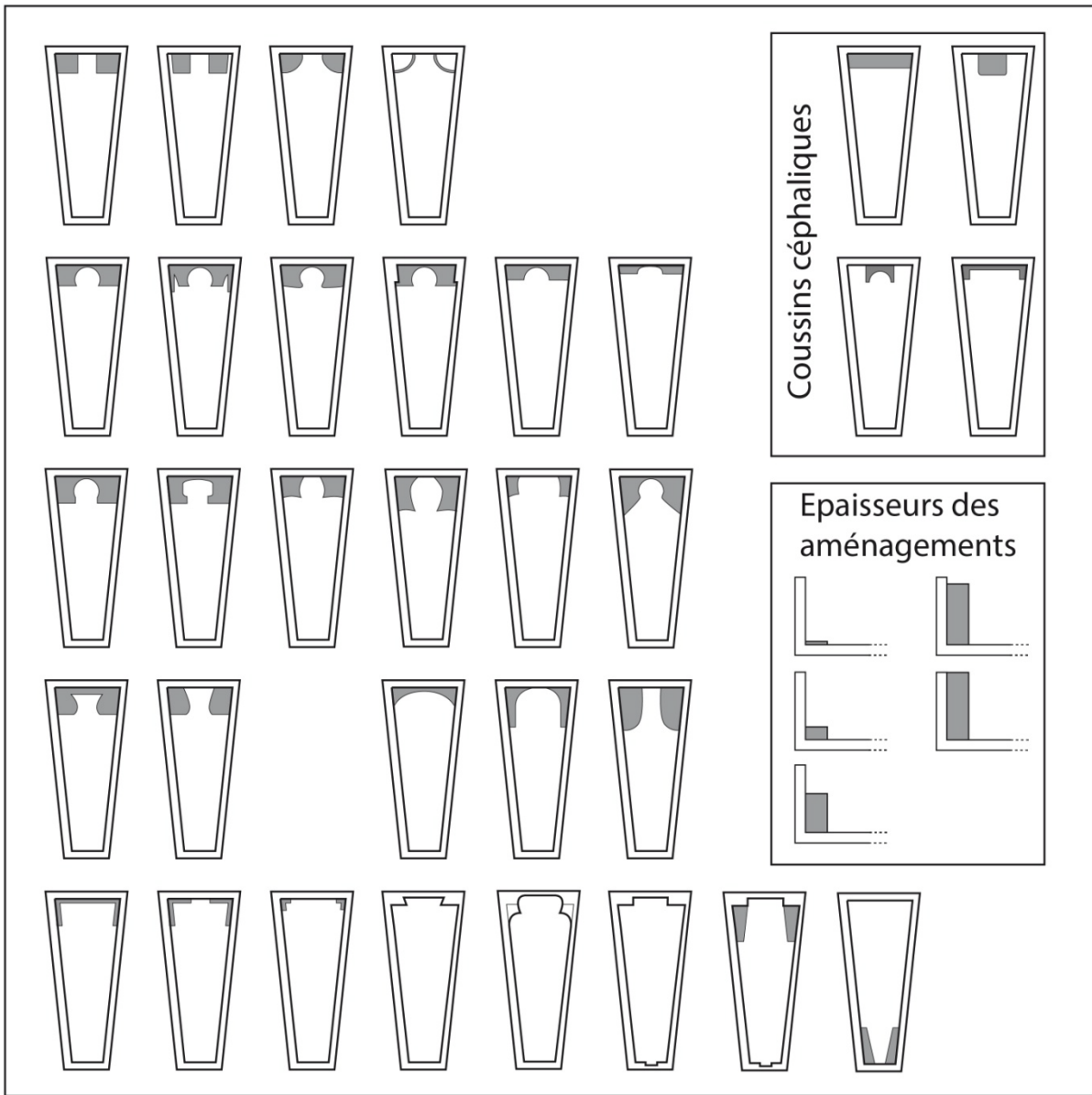


Fig. 159 : Les différents types d'aménagement céphaliques : encoches, logettes, coussins

Figures du chapitre 8

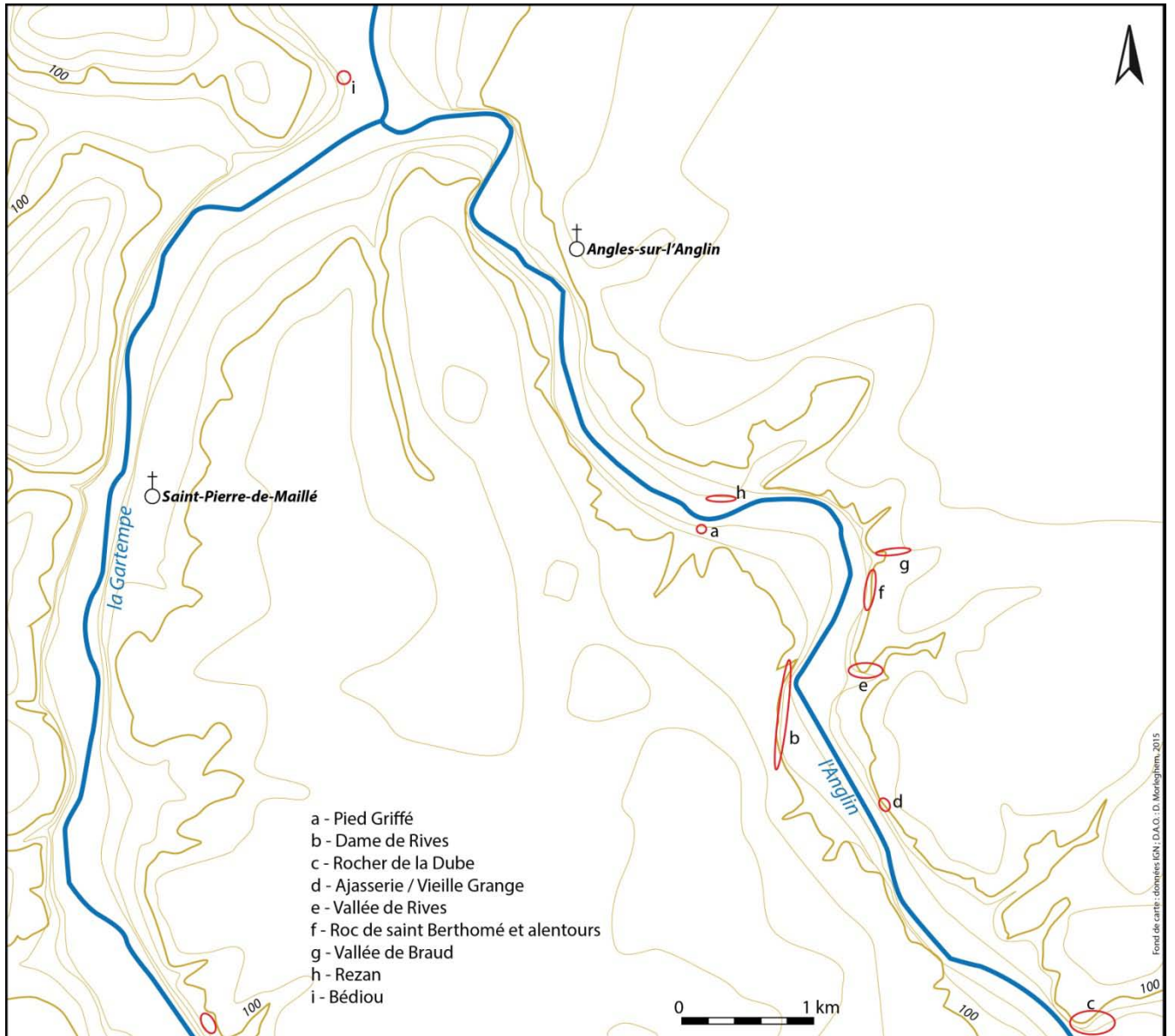


Fig. 160 : Ang – Localisation des principales carrières de la basse vallée de l'Anglin

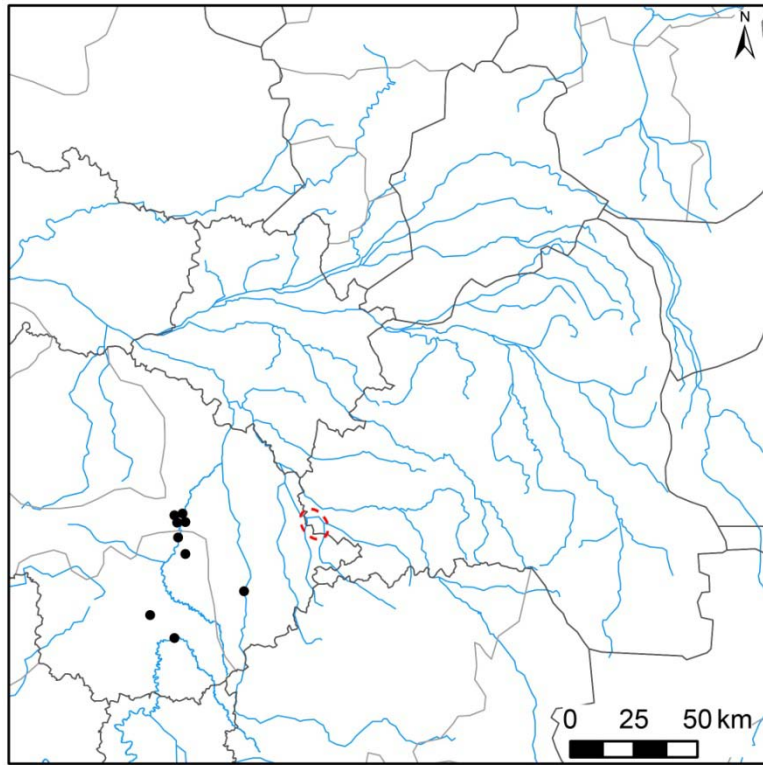


Fig. 161 : Ang – Diffusion des sarcophages de l'ensemble pétrographique A

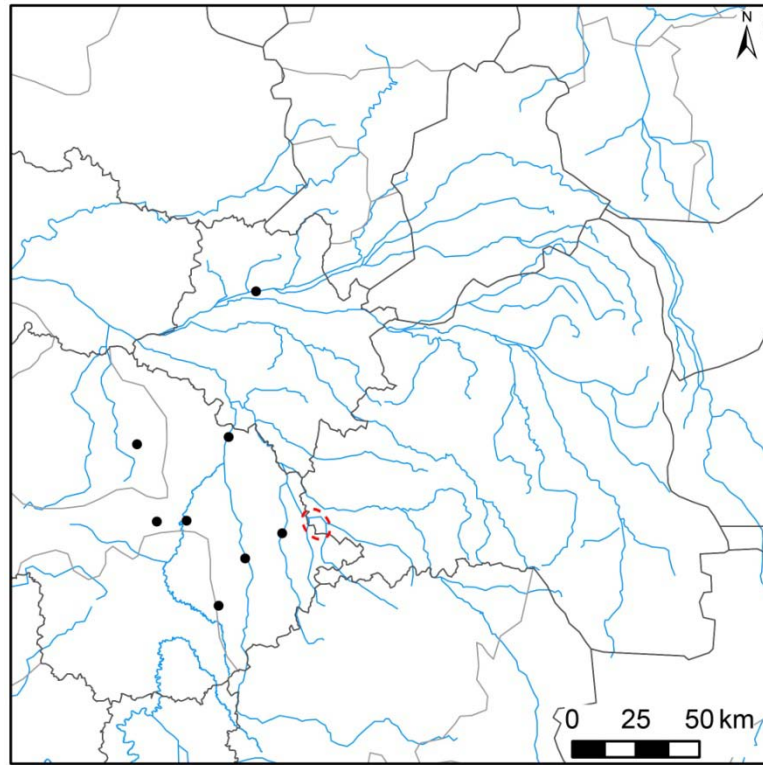


Fig. 162 : Ang – Diffusion des sarcophages de l'ensemble pétrographique B

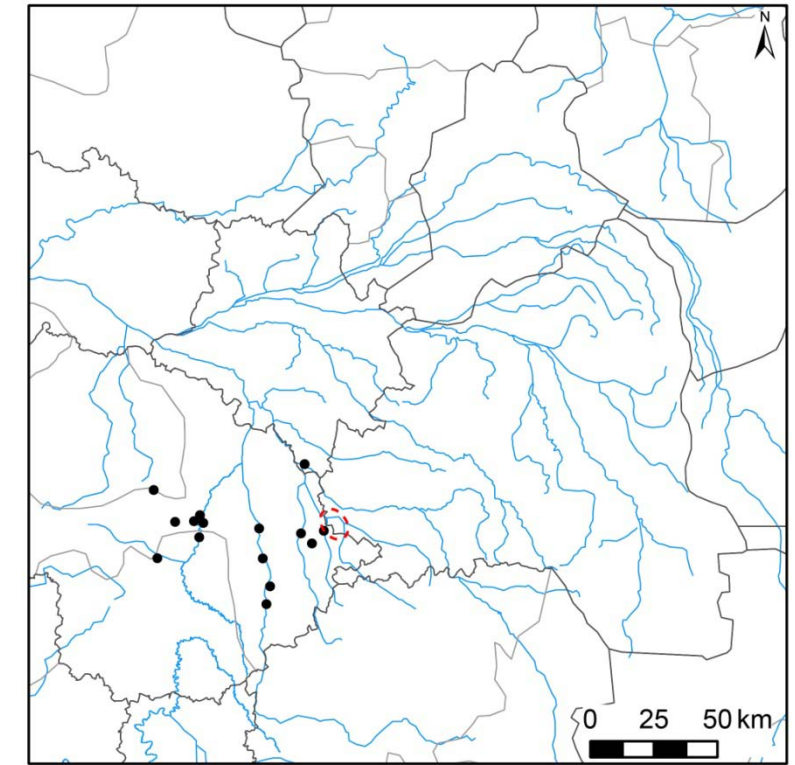


Fig. 163 : Ang – Diffusion des sarcophages de l'ensemble pétrographique C

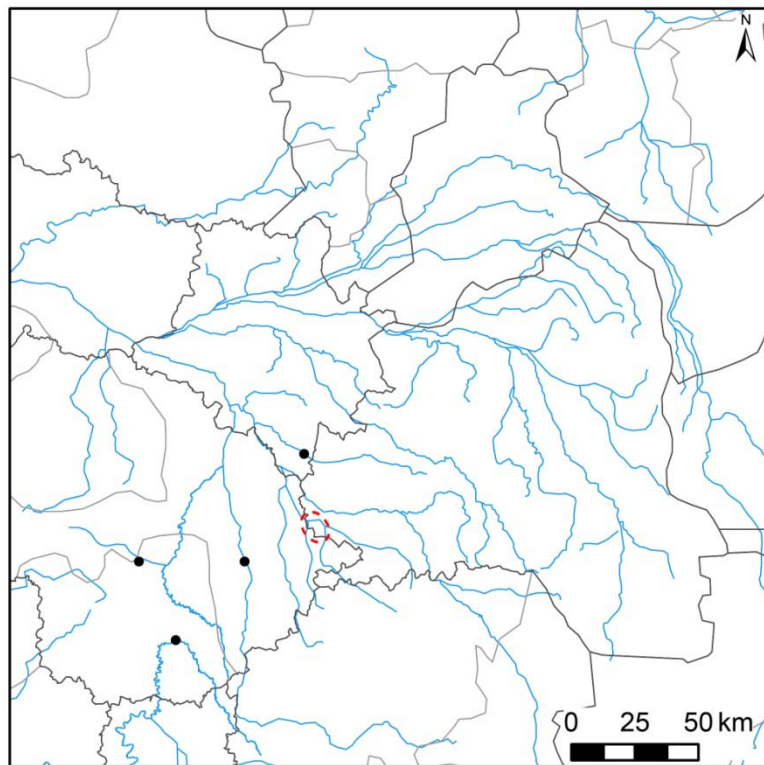


Fig. 164 : Ang – Diffusion des sarcophages de l'ensemble pétrographique D

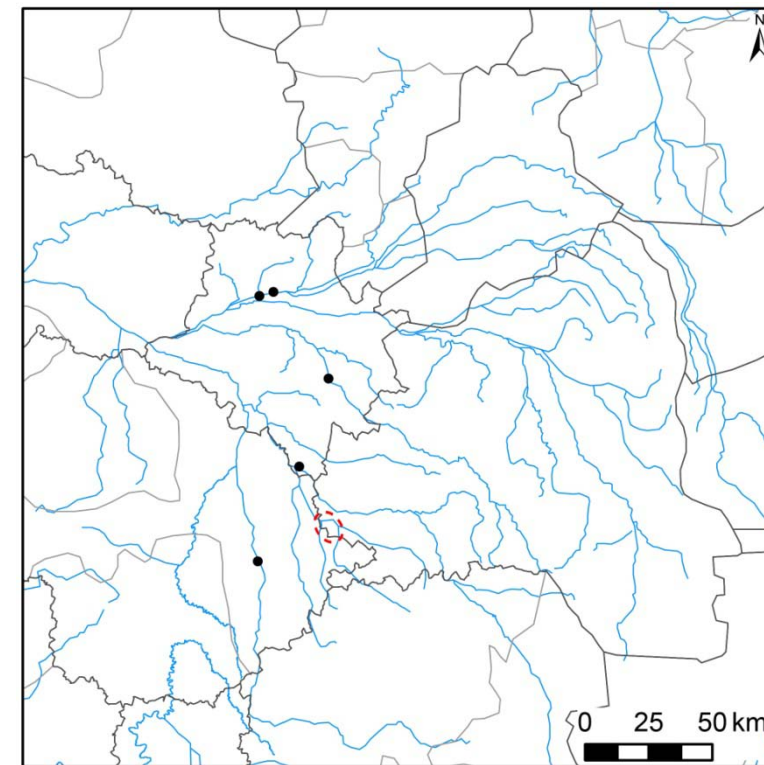


Fig. 165 : Ang – Diffusion des sarcophages de l'ensemble pétrographique E

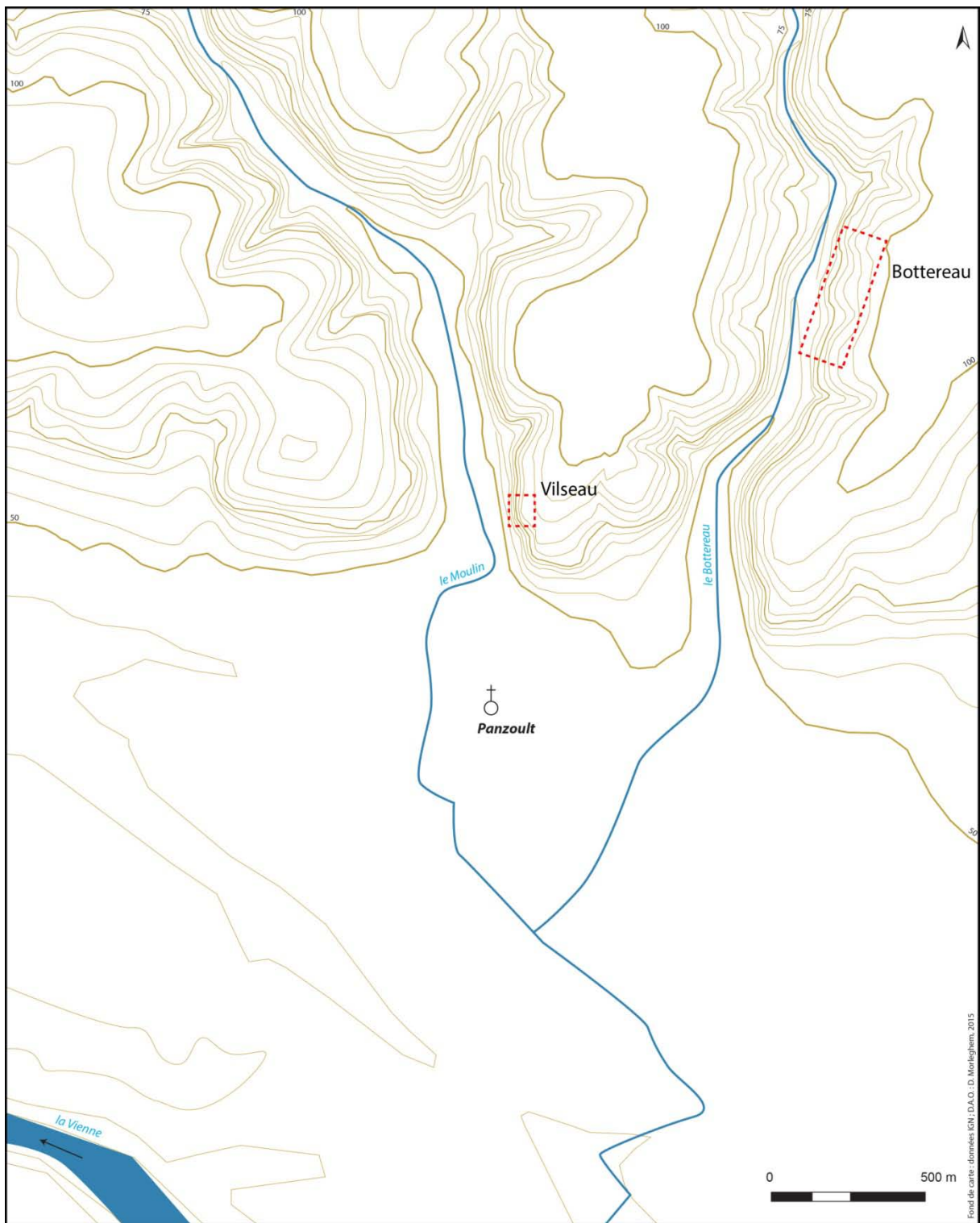


Fig. 166 : Pan – Topographie générale du centre carrier de Panzout

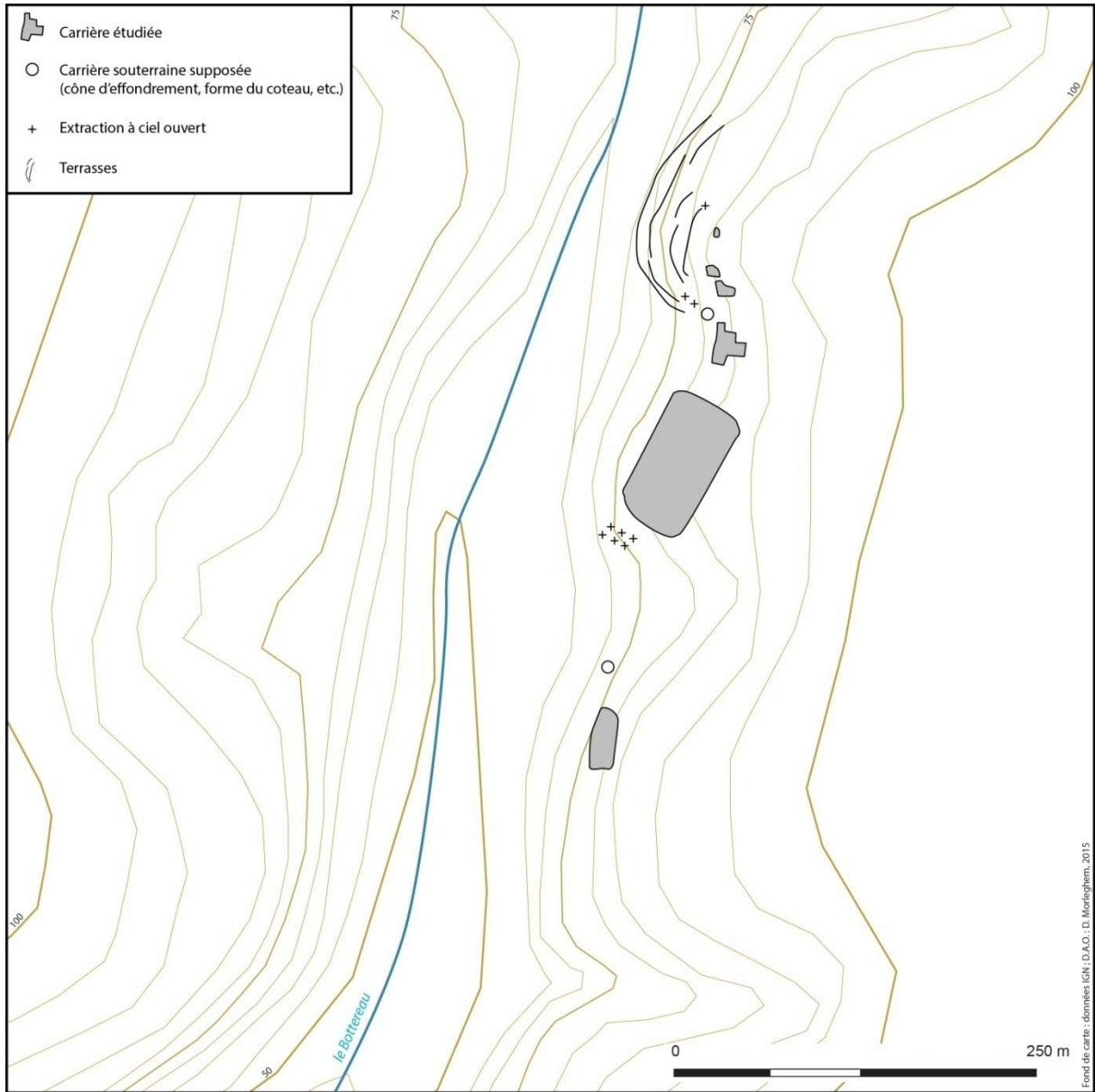


Fig. 167 : Pan – Topographie de l'ensemble du Bottereau (carrières et aménagements du terrain)

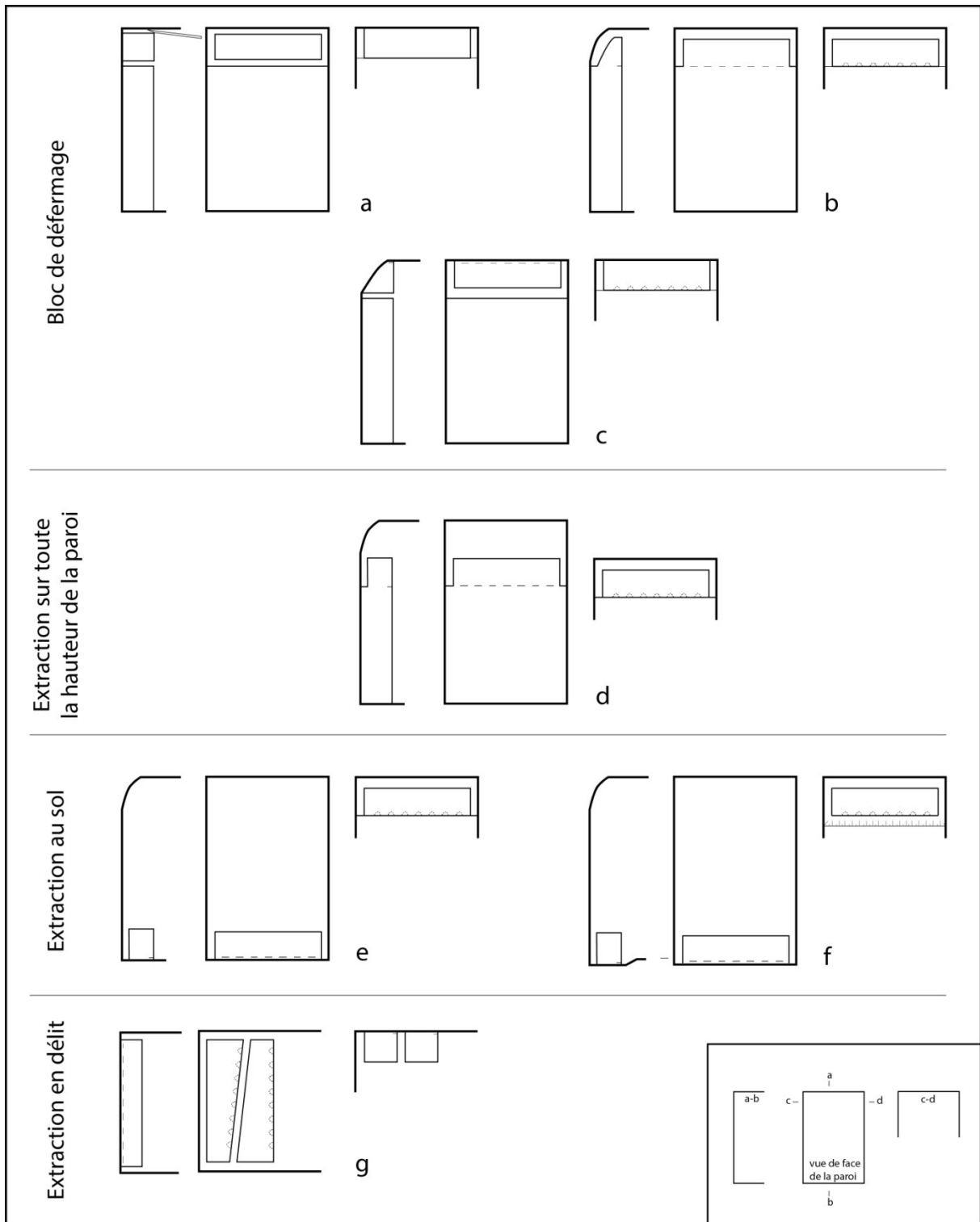


Fig. 168 : Pan – Les différentes techniques d'extraction employées à Panzoult

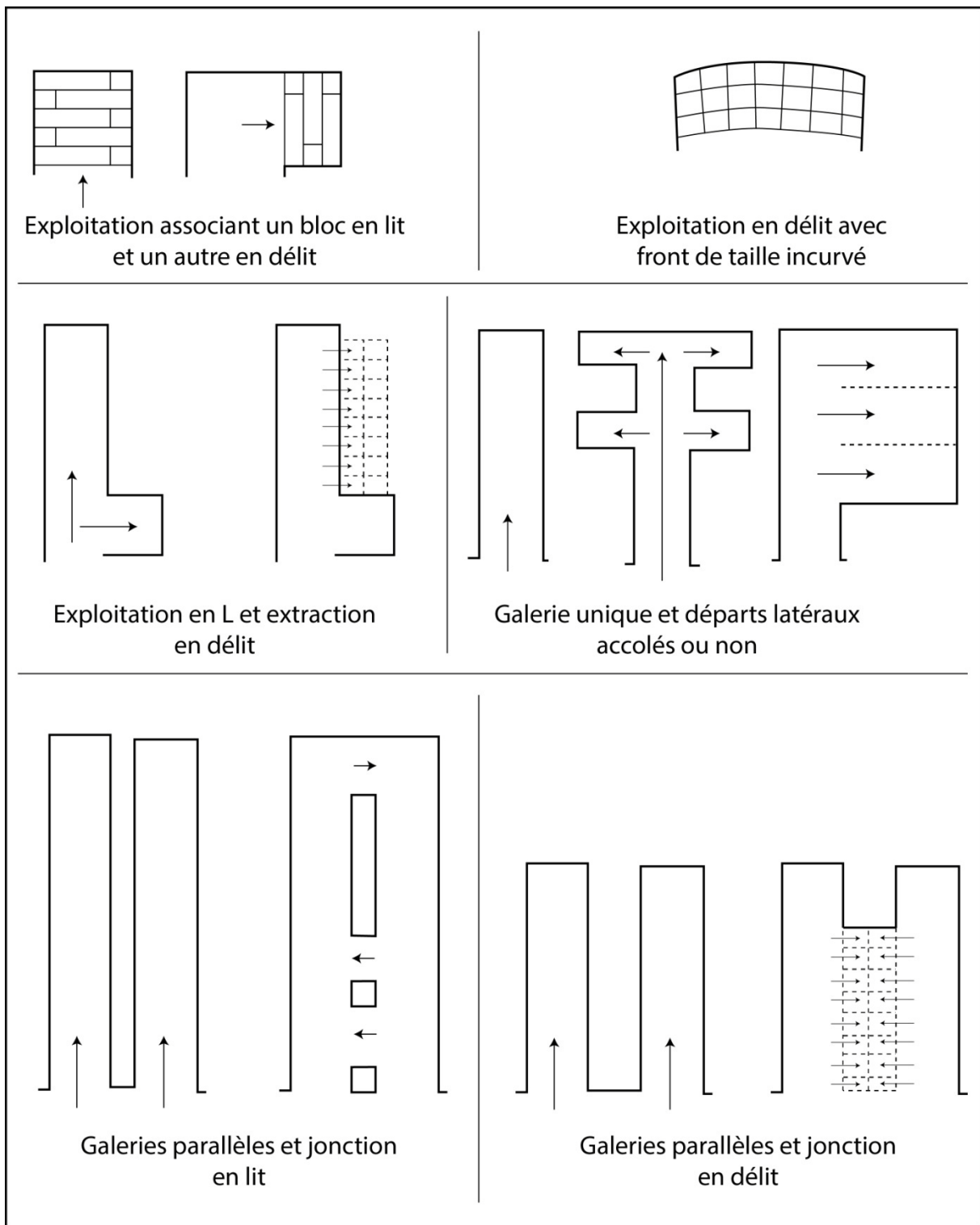


Fig. 169 : Pan – Les différentes stratégies d'exploitation mises en œuvre à Panzoult

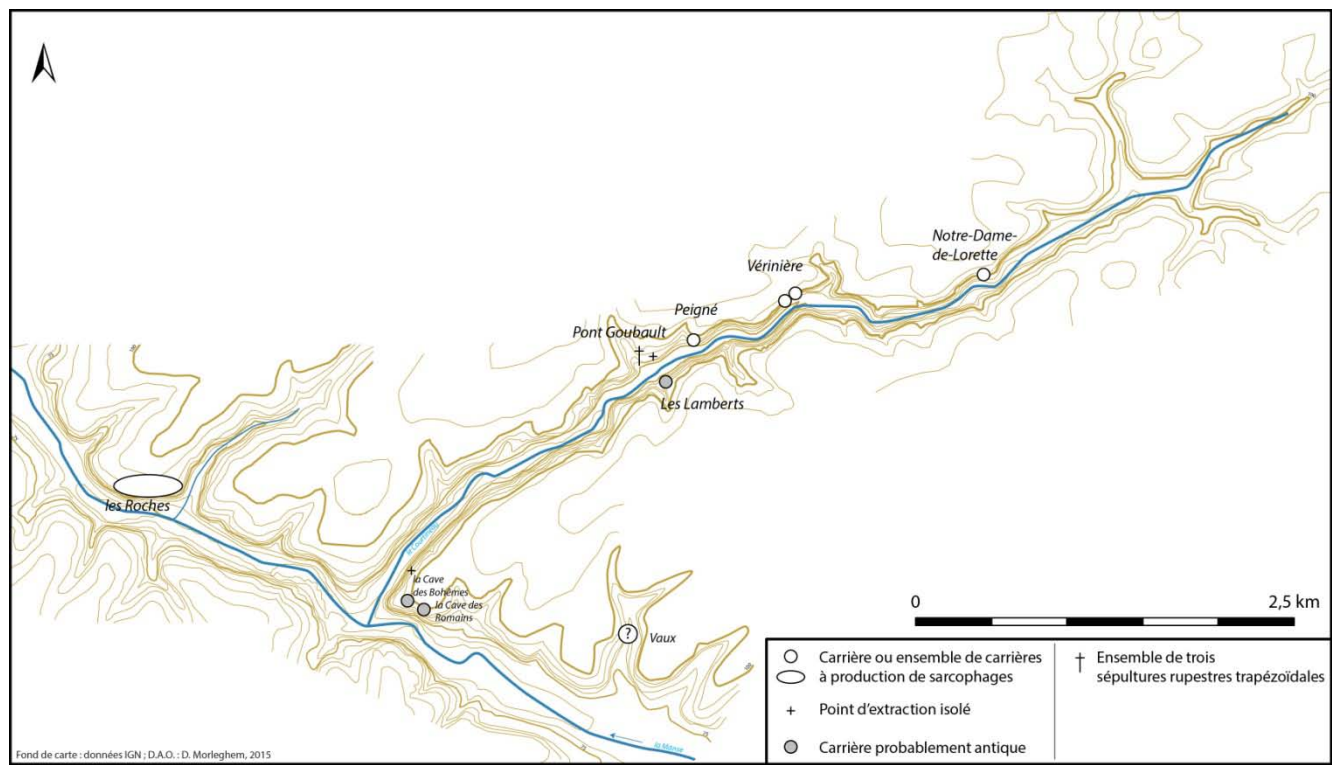


Fig. 170 : Man_Cou – Topographie générale de l'ensemble carrier des vallées de l'Anglin et de la Gartempe

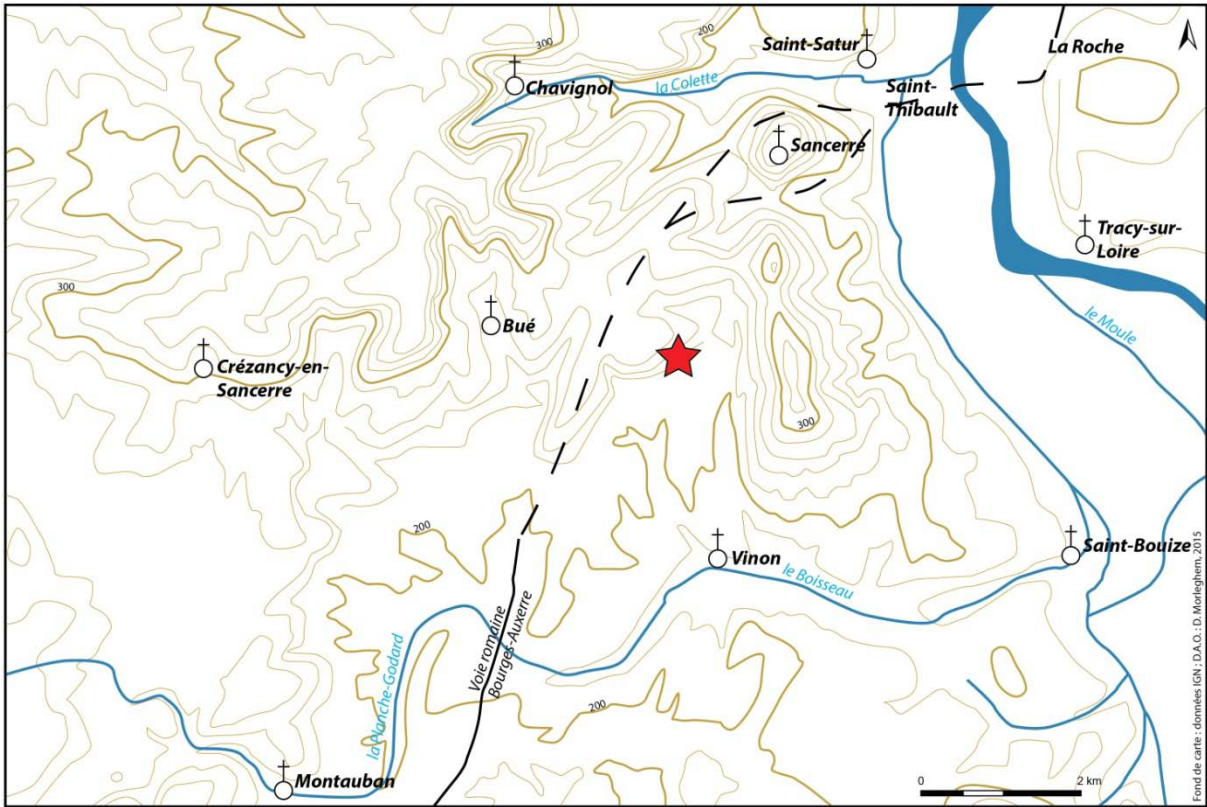


Fig. 171 : Vin – Cadre d’implantation de la carrière de Vinon (étoile rouge)

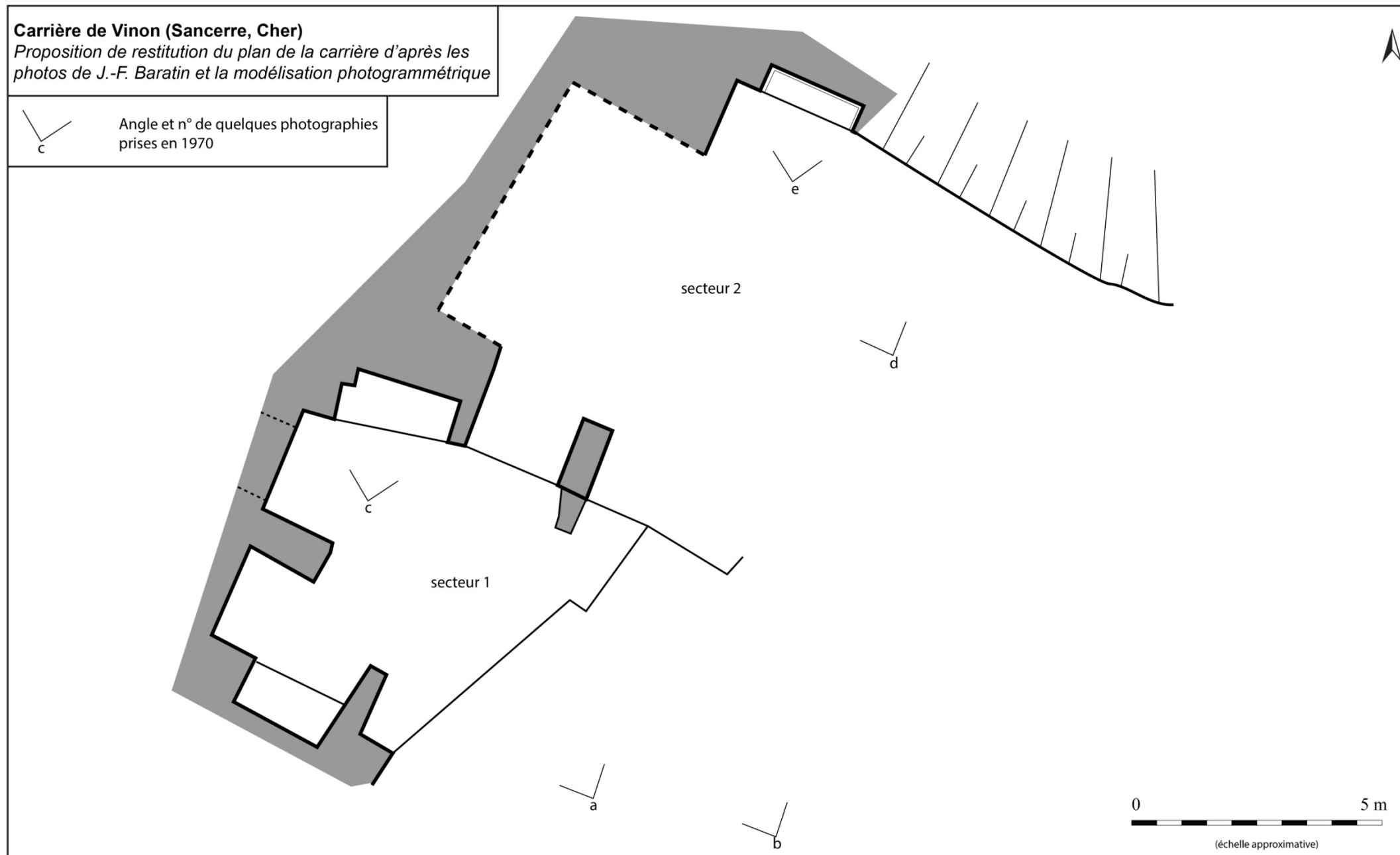


Fig. 172 : Vin – Hypothèse de restitution du plan de la carrière de Vinon



Fig. 173 : Vin – Cliché Baratin a (1970)



Fig. 174 : Vin – Cliché Baratin b (1970)

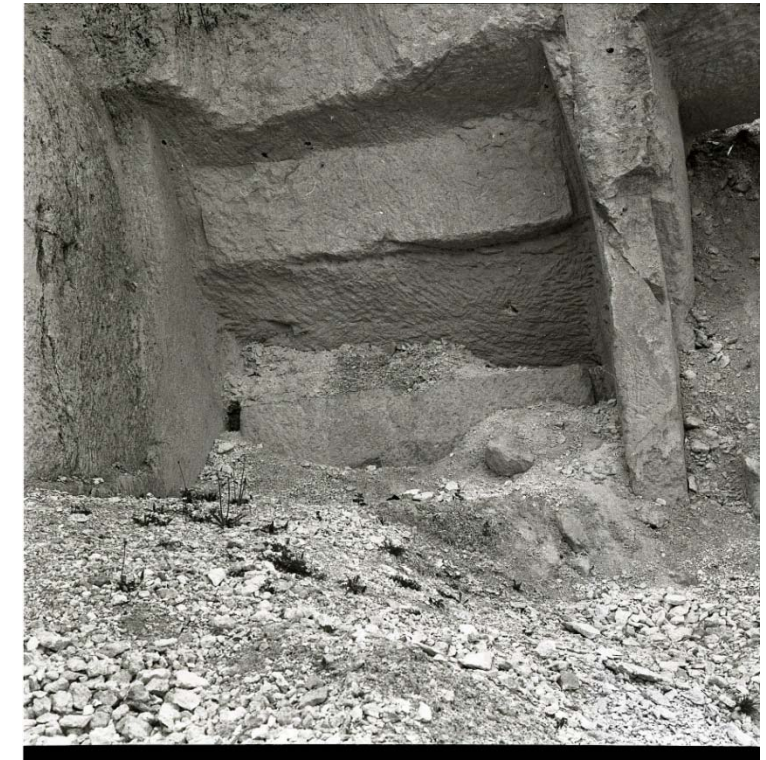


Fig. 175 : Vin – Cliché Baratin c (1970)



Fig. 176 : Vin – Cliché Baratin d (1970)



Fig. 177 : Vin – Cliché Baratin e (1970)

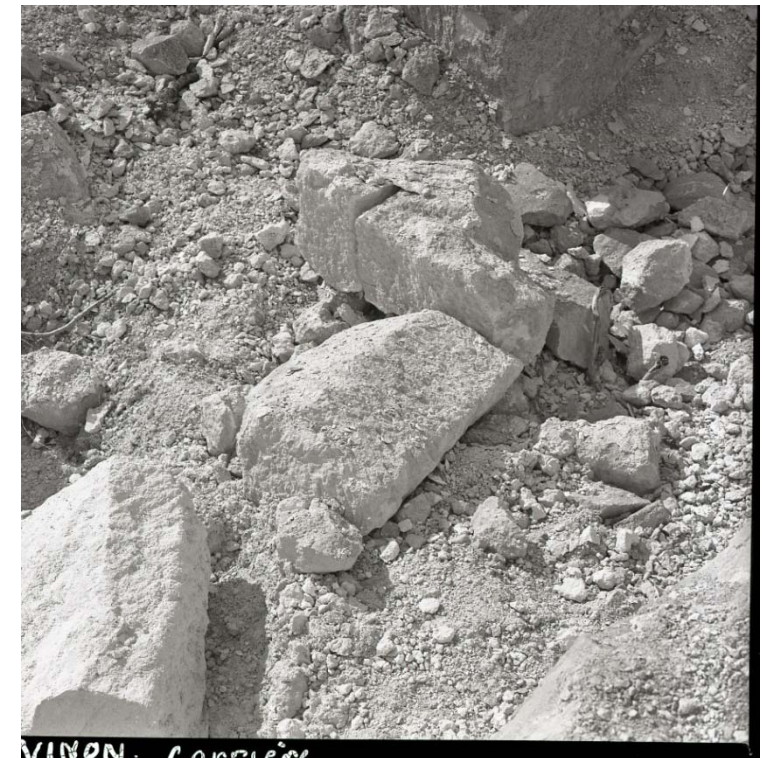


Fig. 178 : Vin – Cliché Baratin f (1970)



Fig. 179: Vin – Vue générale du site depuis le Sud (Morleghem 2011)



Fig. 180 : Vin – Sommet du front de taille du secteur 1 (Morleghem 2011)

Figures du chapitre 9


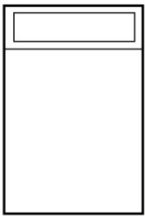
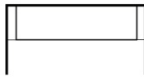
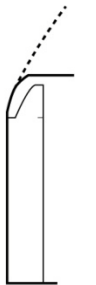
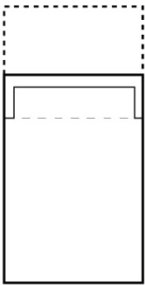
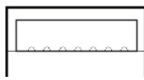

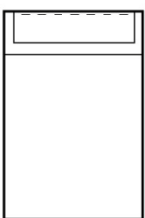
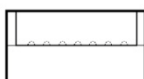
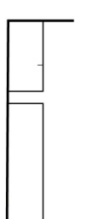
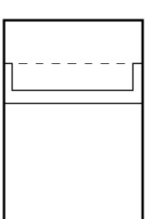
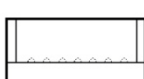
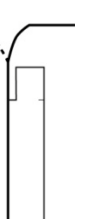
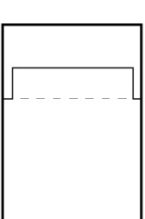
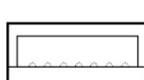

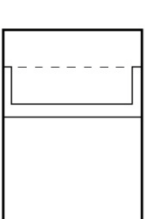
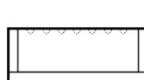
| | | | Panzoult | Manse | Anglin | Vinon |
|---|---|---|----------|-------|--------|-------|
|  |  |  | X | | | |
| D1 | | | | | | |
|  |  |  | X | X | X | |
| D2 | | | | | | |
|  |  |  | X | X | | |
| D3 | | | | | | |
|  |  |  | | X | | |
| D4 | | | | | | |
|  |  |  | X | X | X | X |
| H1 | | | | | | |
|  |  |  | | X | | X |
| H2 | | | | | | |

Fig. 181 : Les différentes techniques de défermage et d'extraction des blocs en parties hautes des fronts de taille ; et présence sur les différents sites de production


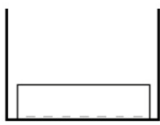
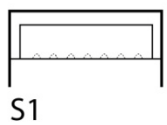


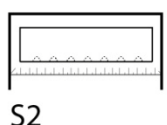


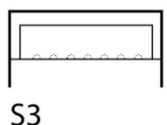
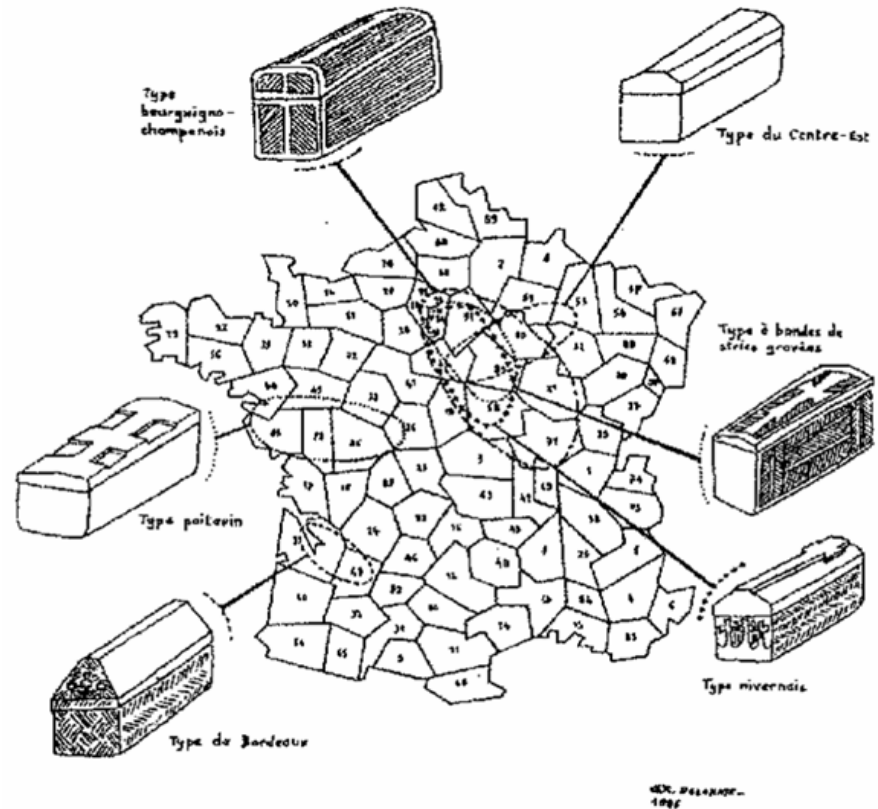
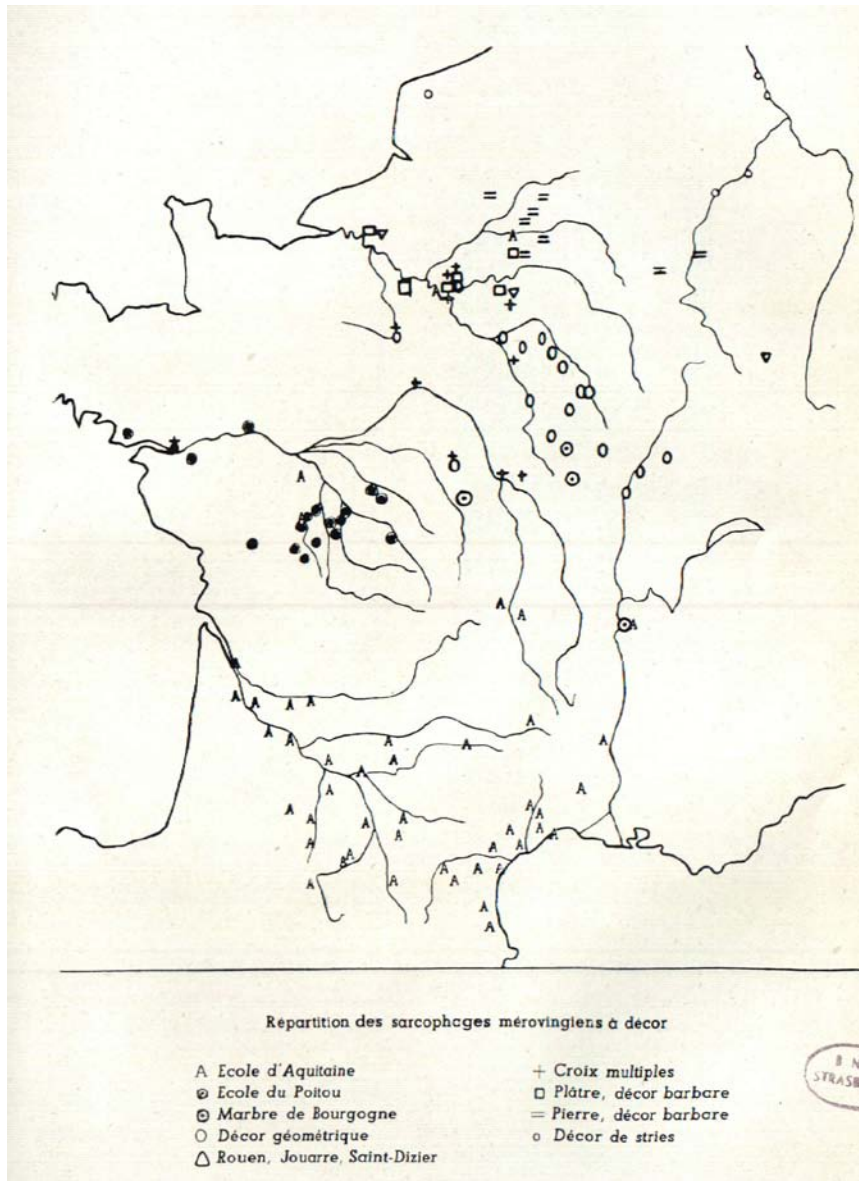
| | | | Panzoult | Manse | Anglin | Vinon |
|---|---|--|----------|-------|--------|-------|
|  |  |  S1 | X | X | X | X |
|  |  |  S2 | X | X | X | |
|  |  |  S3 | | X | | |

Fig. 182 : Les différentes techniques d'extraction au sol de carrière ; et présence sur les différents sites de production

Figures du chapitre 10



Carte de répartition des sarcophages mérovingiens, d'après Gilbert-Robert Delahaye.

Fig. 183 : Répartition de différents types de sarcophages d'après D. Fossard (1953) et G.-R. Delahaye (1991)

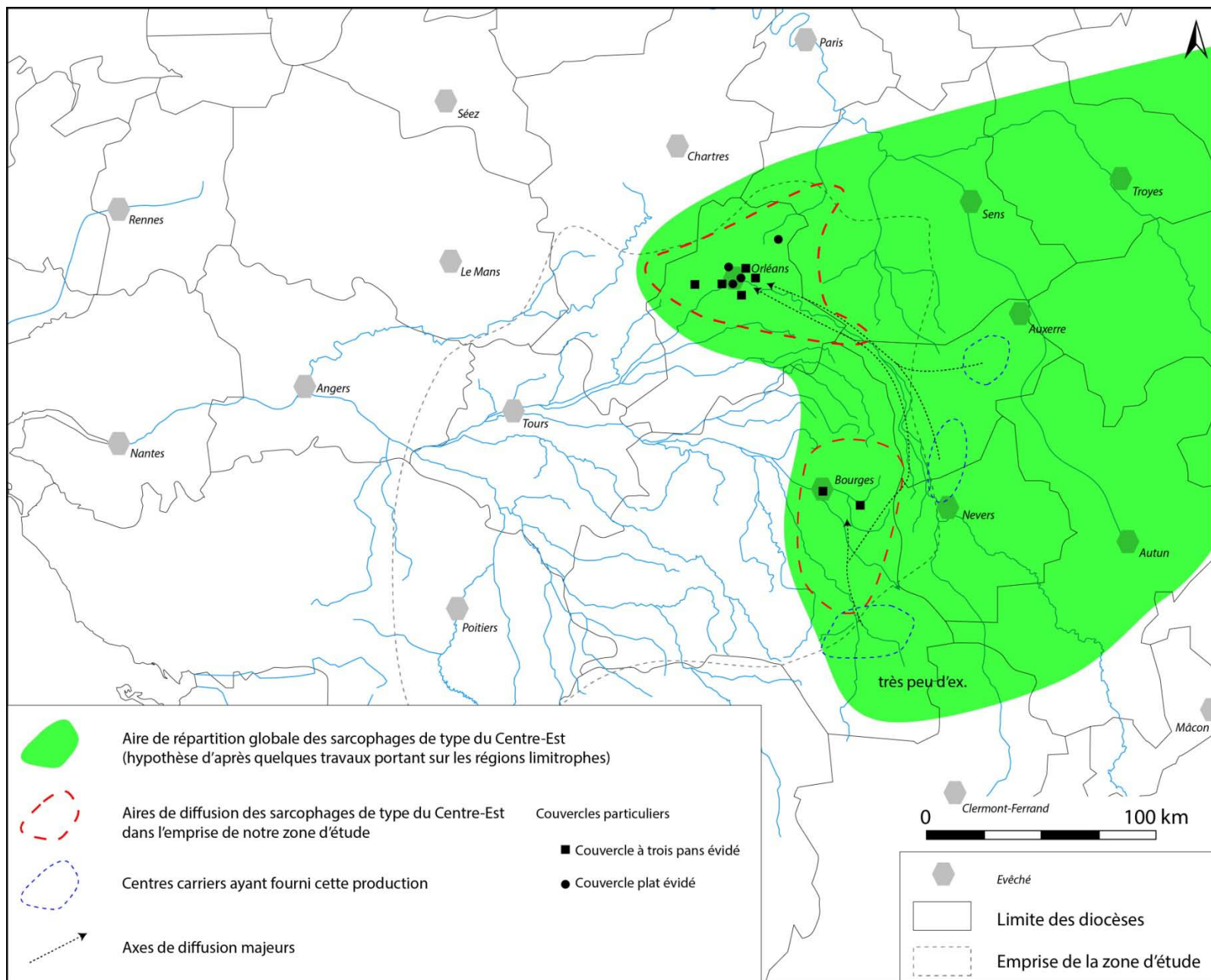


Fig. 184 : Diffusion des sarcophages de type du Centre-Est et à dessous évidés de l'Orléanais

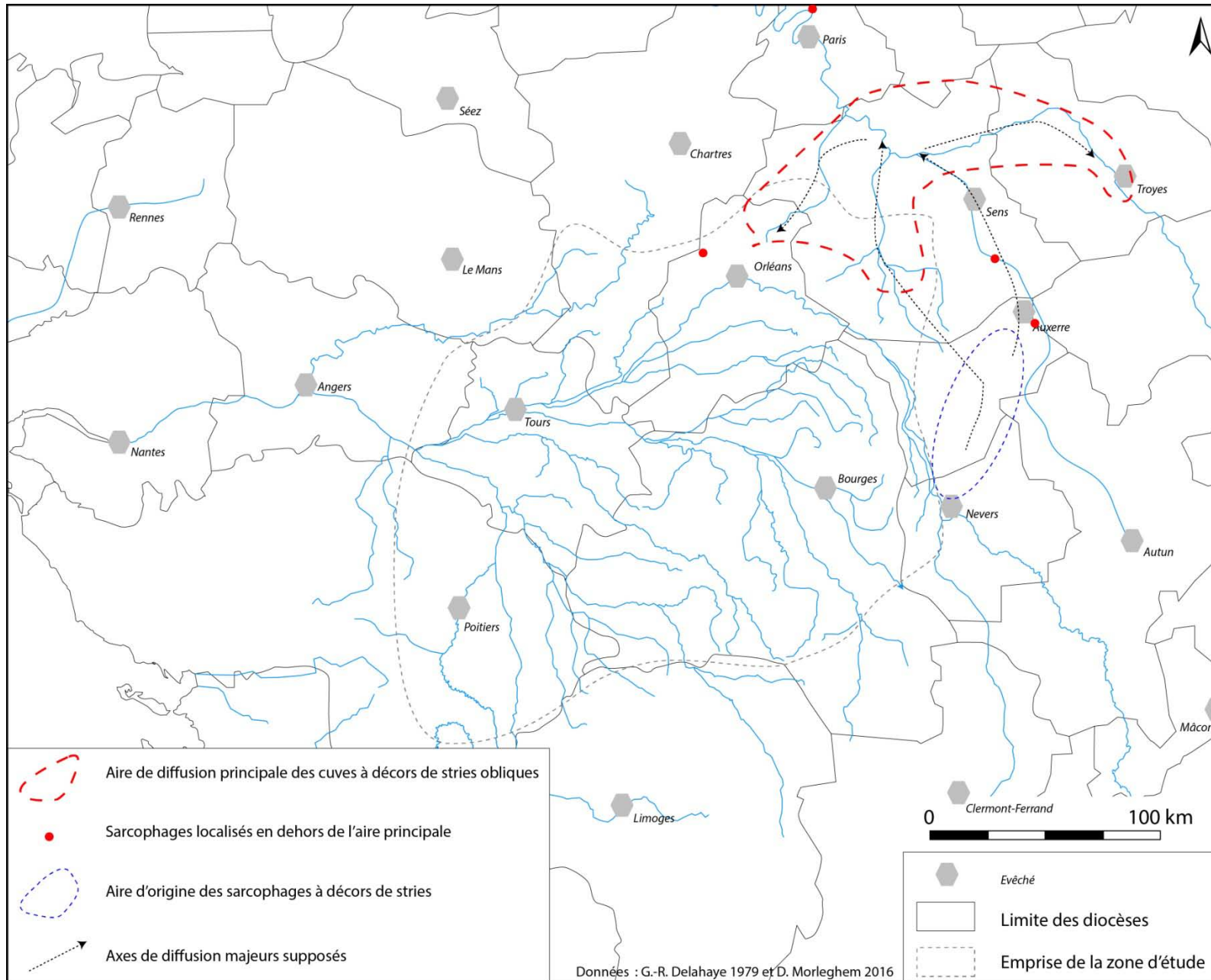


Fig. 185 : Diffusion des sarcophages dont les cuves sont ornées de bandes de stries gravées d'obliquité alternée

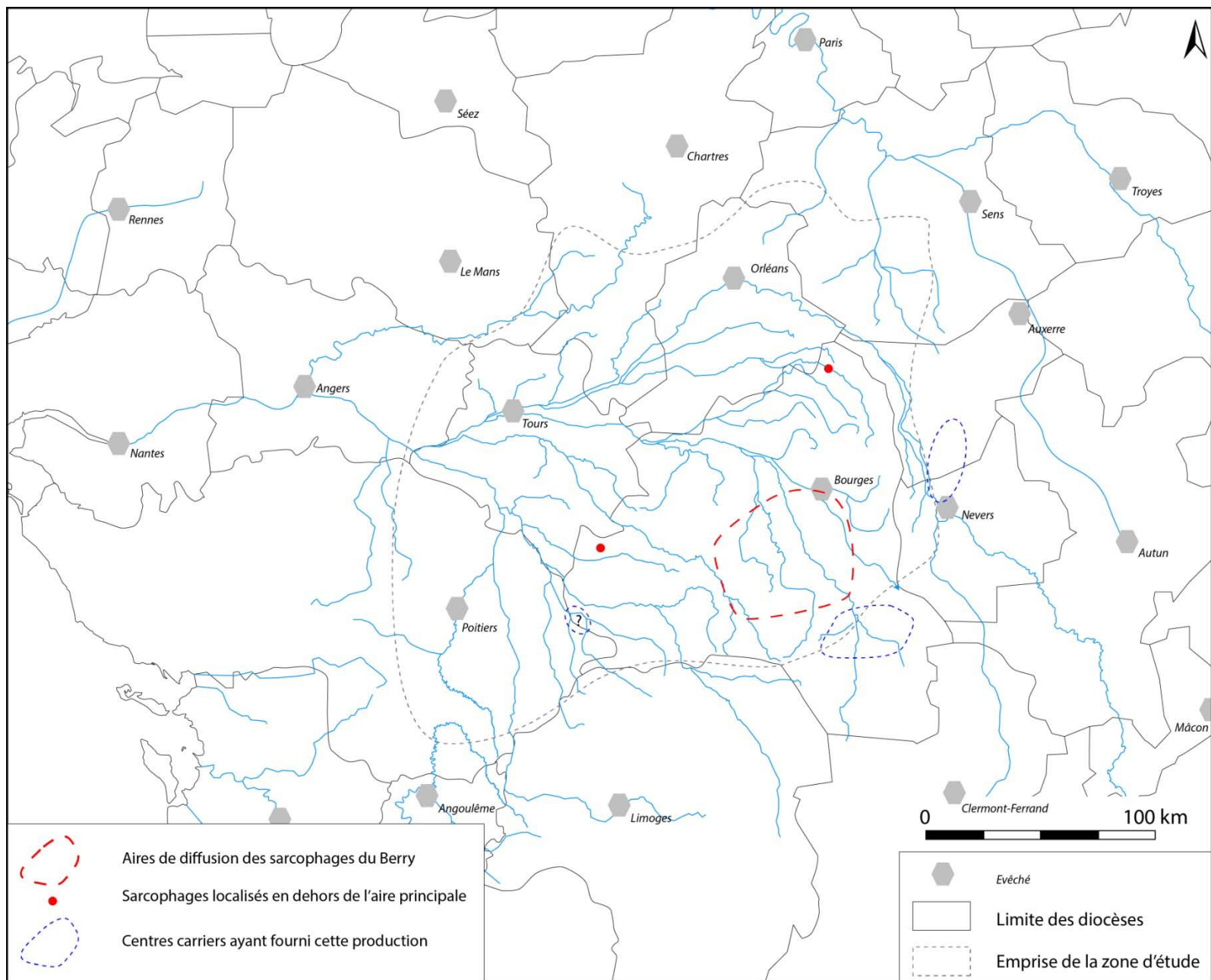


Fig. 186 : Diffusion des sarcophages de type berrichon

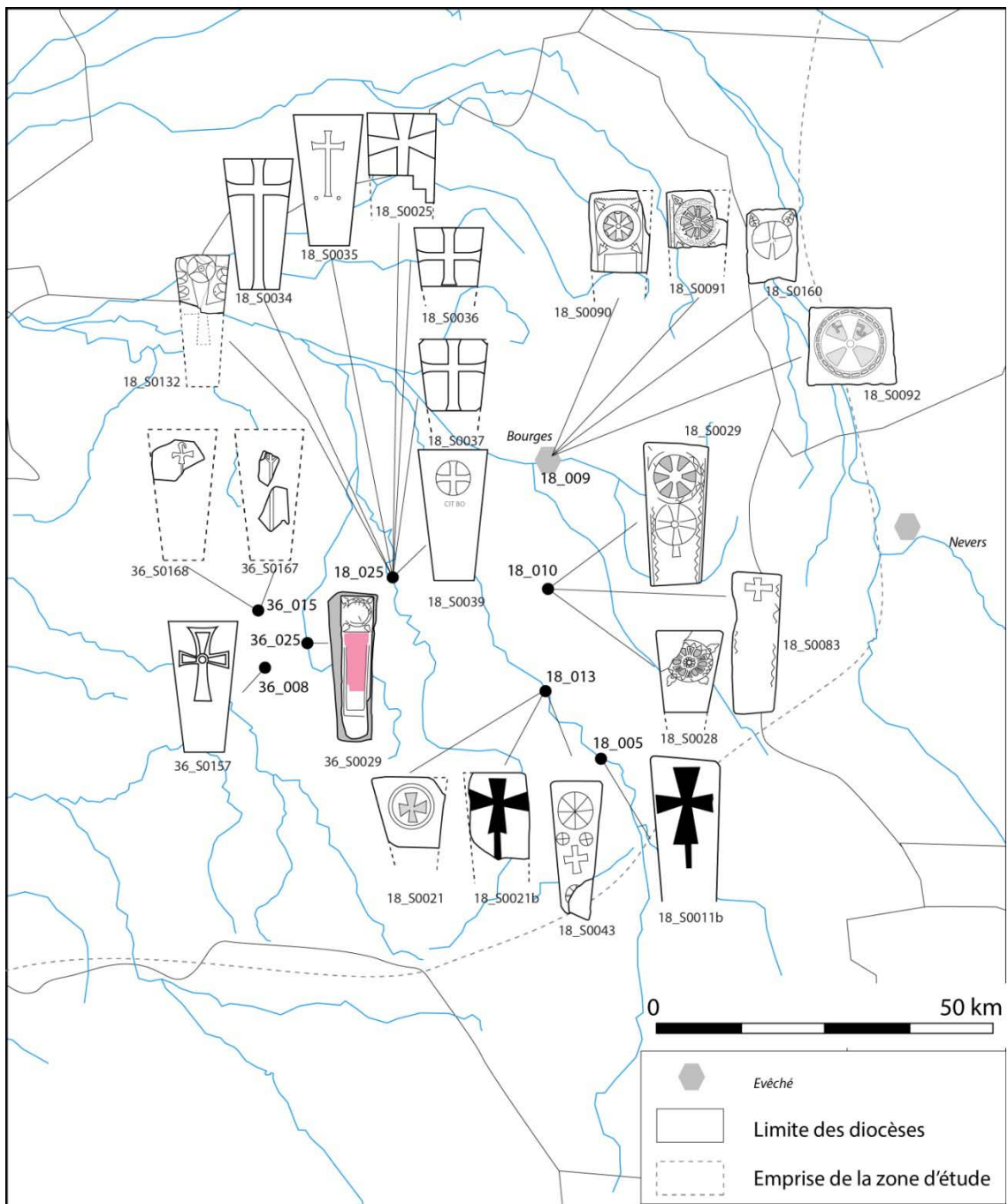


Fig. 187 : Répartition des sarcophages des différents ateliers berrichons

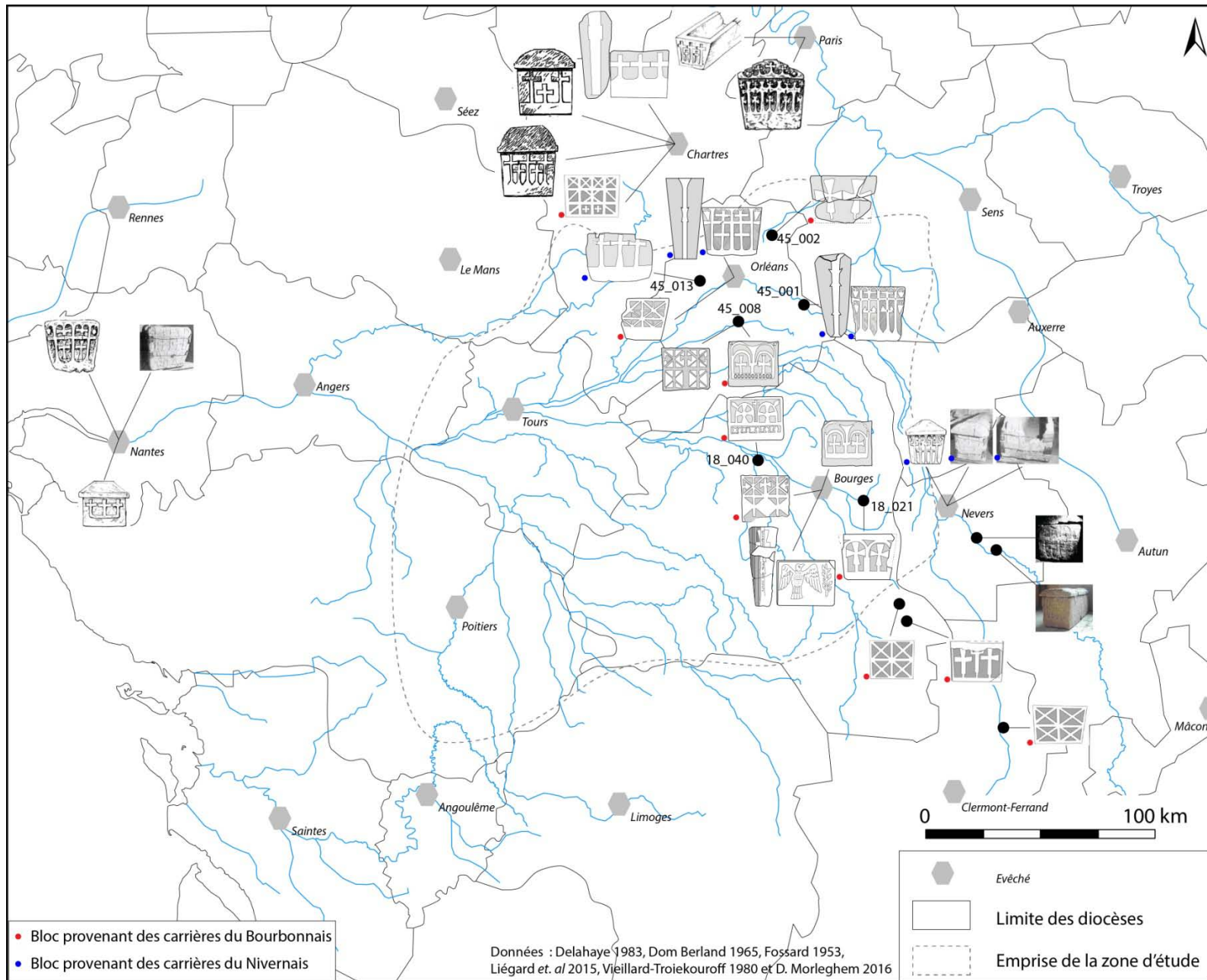


Fig. 188 : Diffusion des sarcophages de type nivernais et bourbonnais (d'après leur décor)

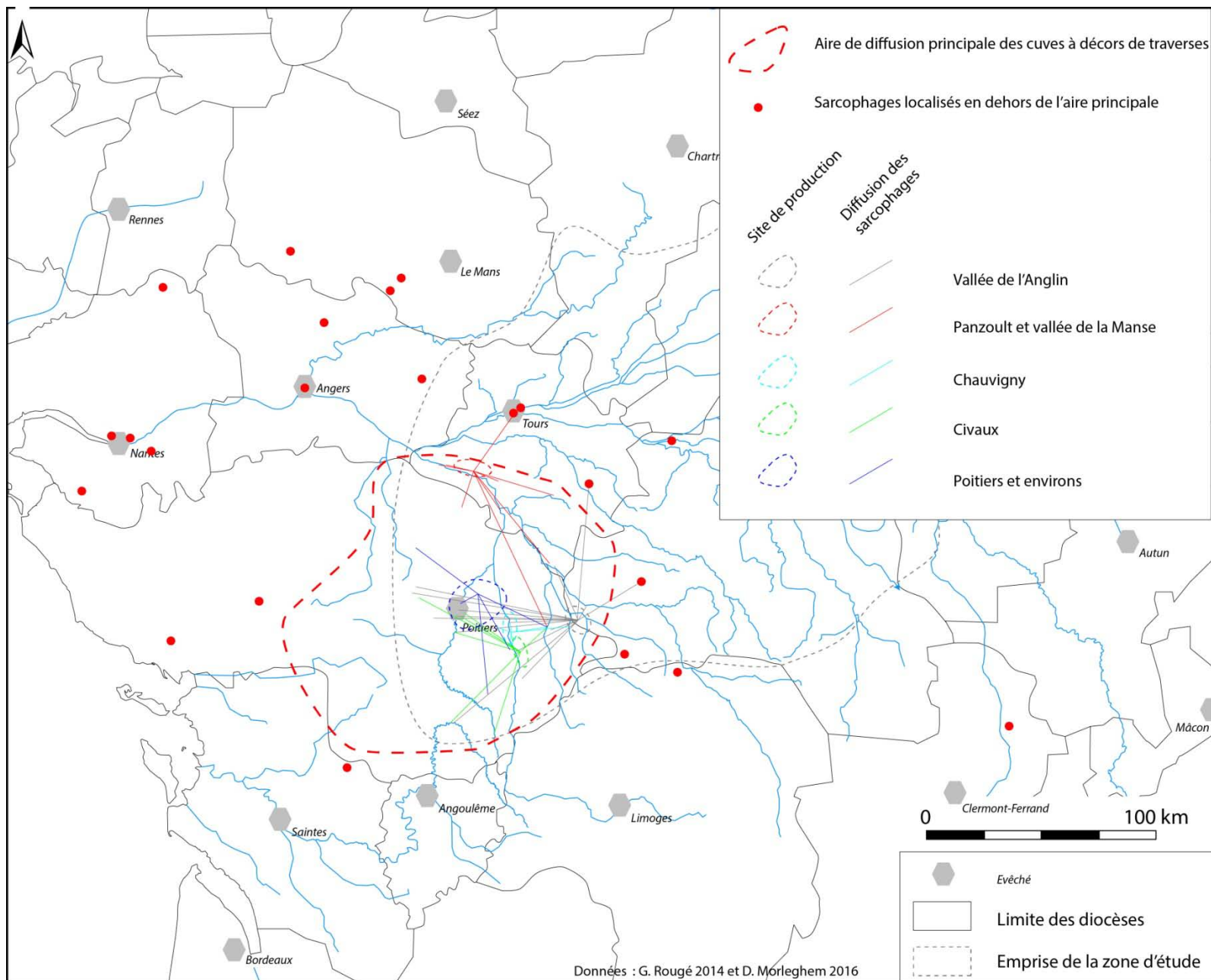


Fig. 189 : Diffusion des sarcophages de type poitevin

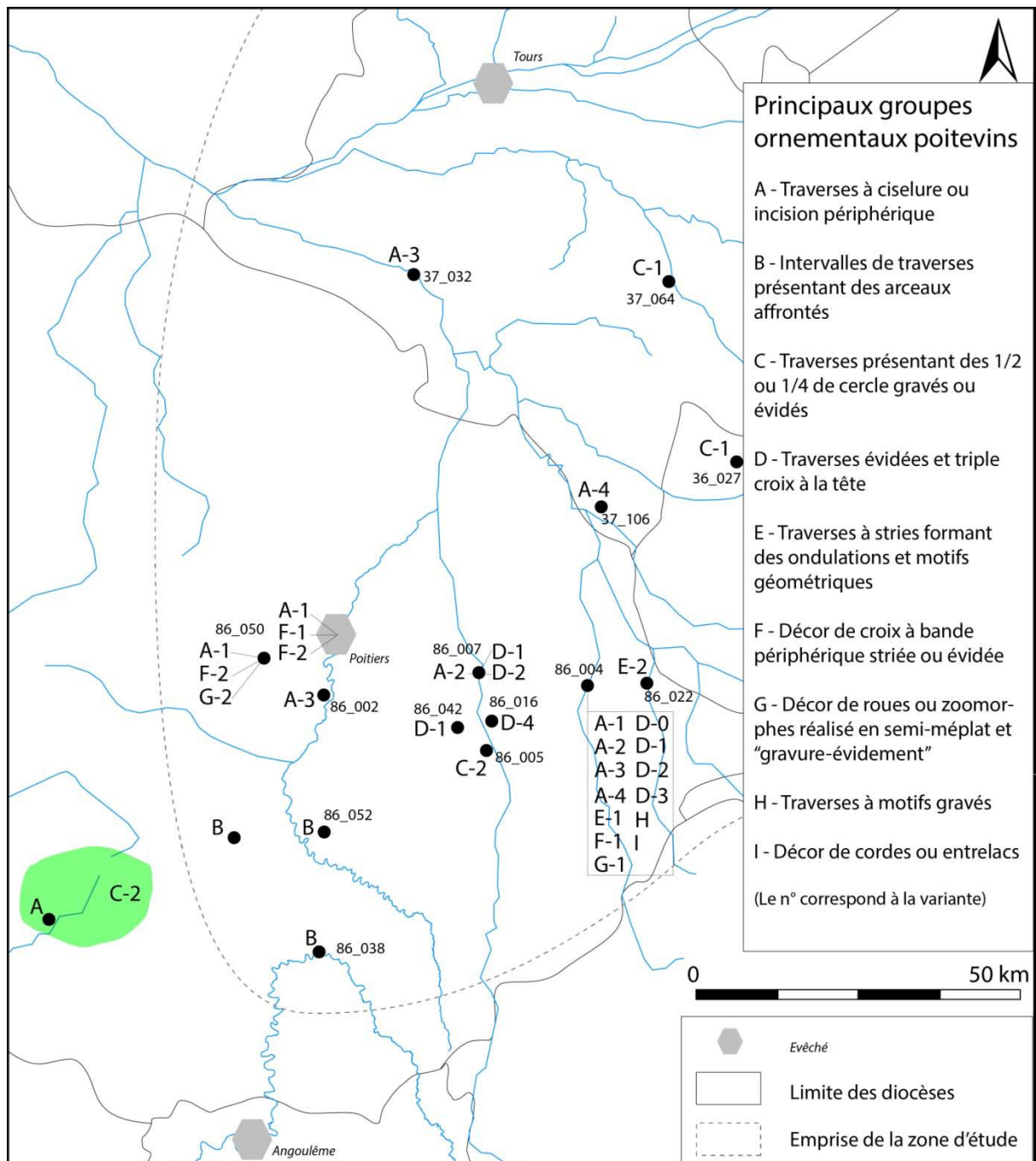


Fig. 190 : Localisation des sarcophages des différents ateliers de décoration poitevins

Figures du chapitre 11

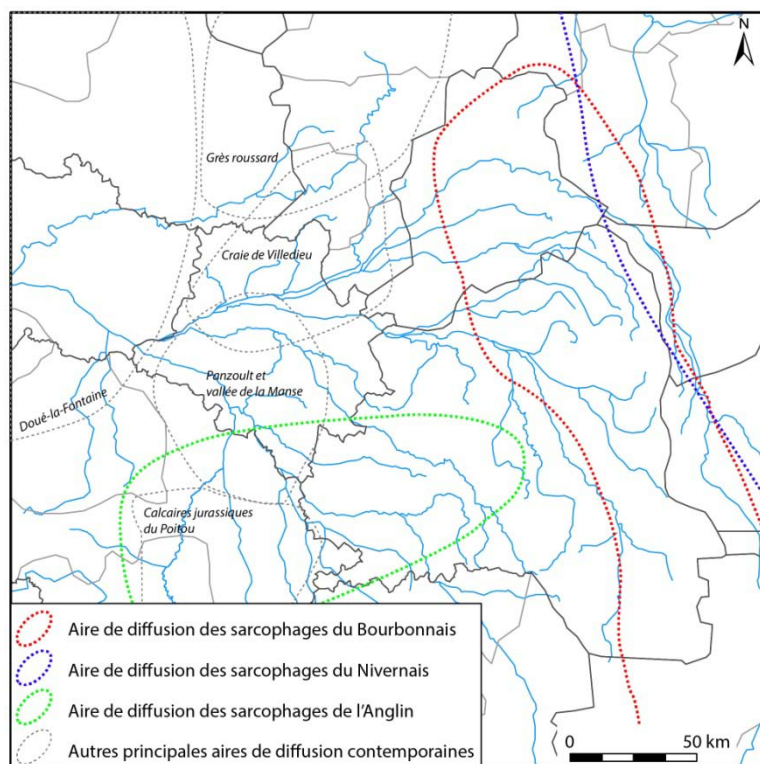


Fig. 191 : Aires de diffusion des trois grands centres de production de sarcophages ayant alimenté le Berry et l'Orléanais aux 5^e et 6^e s.

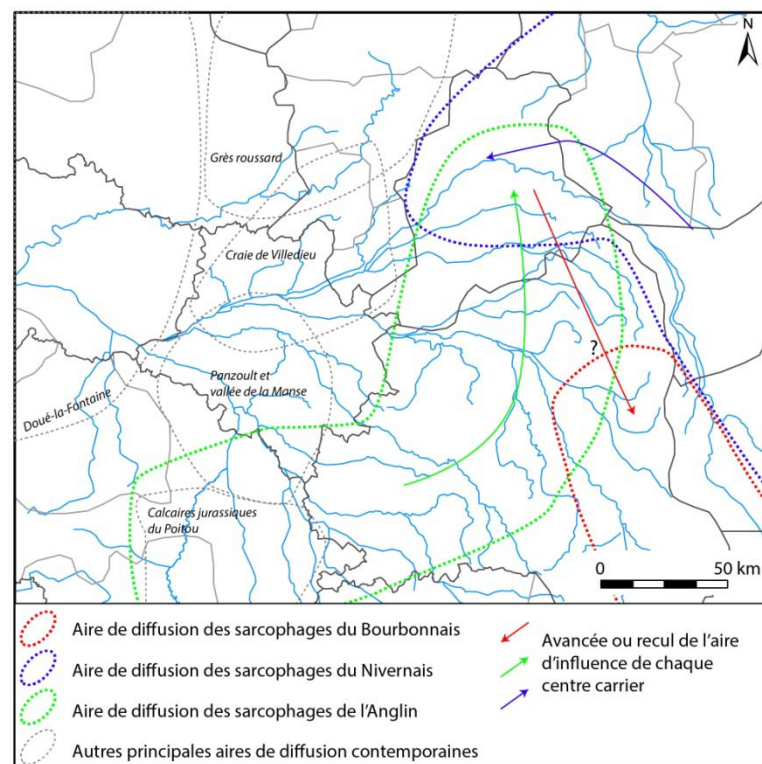


Fig. 192 : Aires de diffusion des trois grands centres de production de sarcophages ayant alimenté le Berry et l'Orléanais après le 6^e s. (hypothèse d'évolution)

| ID_Site | Type de site | Matériau et origine | Nombre de sarcophages recensés |
|---------|-------------------------|--|--------------------------------|
| 18_001 | Nécropole (plein champ) | Calcaire jurassique de Vinon | 1 |
| 18_009 | Nécropole (église) | Grès permians du Bourbonnais | 11 |
| 18_010 | Petit ensemble | Calcaires jurassiques de la vallée de l'Anglin (ou Ambrault) | 1 |
| 18_021 | Nécropole (église) | Grès permians du Bourbonnais | 1 |
| 18_023 | Nécropole (église) | Grès permians du Bourbonnais | 1 |
| 18_025 | Nécropole (église) | Grès permians du Bourbonnais | 2 |
| 18_035 | Indéterminé | Grès permians du Bourbonnais | 1 |
| 18_038 | Indéterminé | Calcaires jurassiques de la vallée de l'Anglin (ou Ambrault) | 1 |
| 18_040 | Indéterminé | Grès permians du Bourbonnais | 2 |
| 18_048 | Nécropole (église) | Calcaires jurassiques de la vallée de l'Anglin (ou Ambrault) | 1 |
| | | Grès permians du Bourbonnais | 1 |
| | | Calcaires jurassiques du Nivernais | 1 |
| 18_049 | Nécropole (église) | Calcaire jurassique de Vinon | 1 |
| 18_050 | Nécropole (église) | Grès permians du Bourbonnais | 1 |
| 18_051 | Nécropole (église) | Grès permians du Bourbonnais | 1 |
| | Nécropole (église) | Calcaire jurassique de Vinon | 1 |
| 18_052 | Nécropole (église) | Grès permians du Bourbonnais | 1 |
| | | Calcaire jurassique de Vinon | 1 |
| 18_053 | Nécropole (église) | Grès permians du Bourbonnais | 1 |
| | | Calcaire jurassique de Vinon | 1 |
| 18_069 | Nécropole (église) | Calcaires jurassiques de la vallée de l'Anglin (ou Ambrault) | 2 |
| | | Tuffeaux jaunes de la vallée de la Manse | 1 |
| | | Tuffeaux blancs | 1 |
| 18_089 | Petit ensemble | Grès permians du Bourbonnais | 2 |
| 18_100 | Sépulture isolée | Calcaires jurassiques de la vallée de l'Anglin | 1 |
| 18_101 | Petit ensemble | Grès permians du Bourbonnais | 3 |
| 18_109 | Nécropole (église) | Calcaires jurassiques de la vallée de l'Anglin (ou Ambrault) | 1 |
| 18_114 | Nécropole (église) | Grès permians du Bourbonnais | 1 |
| 18_116 | Nécropole (église) | Calcaires jurassiques de la vallée de l'Anglin (ou Ambrault) | 1 |
| 18_119 | Indéterminé | Calcaire jurassique de Vinon | 1 |
| 18_120 | Indéterminé | Calcaires jurassiques de la vallée de l'Anglin (ou Ambrault) | 1 |
| | | Grès permians du Bourbonnais | 2 |
| 36_005 | Nécropole (église) | Calcaires jurassiques de la vallée de l'Anglin | 4 |
| 36_013 | Indéterminé | Tuffeaux blancs | 2 |
| 36_014 | Nécropole (plein champ) | Calcaires jurassiques de la vallée de l'Anglin (ou Ambrault) | 3 |
| 36_015 | Nécropole (église) | Calcaires jurassiques de la vallée de l'Anglin (ou Ambrault) | 8 |
| 36_019 | Petit ensemble | Calcaires jurassiques de la vallée de l'Anglin (ou Ambrault) | 1 |
| 36_021 | Nécropole (église) | Calcaires jurassiques de la vallée de l'Anglin | 1 |
| 36_022 | Nécropole (église) | Calcaires jurassiques de la vallée de l'Anglin (ou Ambrault) | 2 |
| 36_025 | Indéterminé | Calcaires jurassiques de la vallée de l'Anglin (ou Ambrault) | 1 |
| 36_028 | Nécropole (église) | Calcaires jurassiques de la vallée de l'Anglin | 1 |
| | | Tuffeau blanc, faciès de Bourré | 1 |
| | | Tuffeaux blancs | 1 |

| | | | |
|--------|-------------------------|--|----|
| 36_029 | Indéterminé | Calcaires jurassiques de la vallée de l'Anglin | 2 |
| 36_032 | Nécropole (église) | Tuffeaux blancs | 1 |
| 36_036 | Nécropole (église) | Calcaires jurassiques de la vallée de l'Anglin | 9 |
| 36_037 | Indéterminé | Calcaires jurassiques du Nivernais | 1 |
| 36_040 | Indéterminé | Calcaires jurassiques de la vallée de l'Anglin | 2 |
| 36_050 | Nécropole (église) | Calcaires jurassiques de la vallée de l'Anglin | 2 |
| 36_063 | Indéterminé | Calcaires jurassiques de la vallée de l'Anglin | 3 |
| 36_075 | Indéterminé | Calcaires jurassiques de la vallée de l'Anglin | 3 |
| 36_077 | Indéterminé | Calcaires jurassiques du Nivernais | 2 |
| 36_082 | Nécropole (église) | Calcaires jurassiques de la vallée de l'Anglin | 1 |
| | | Calcaires jurassiques du Nivernais | 1 |
| 36_083 | Indéterminé | Calcaires jurassiques de la vallée de l'Anglin | 1 |
| 36_088 | Nécropole (église) | Calcaires jurassiques de la vallée de l'Anglin (ou Ambrault) | 7 |
| 36_110 | Nécropole (plein champ) | Calcaires jurassiques de la vallée de l'Anglin (ou Ambrault) | 3 |
| 36_110 | Nécropole (plein champ) | Calcaires jurassiques de la vallée de l'Anglin | 2 |
| 37_004 | Nécropole (église) | Tuffeaux jaunes de la vallée de la Manse | 1 |
| 37_005 | Nécropole (plein champ) | Tuffeaux jaunes de la vallée de la Manse | 1 |
| | | Tuffeau blanc, faciès de Bourré | 1 |
| 37_012 | Nécropole (église) | Calcaires jurassiques de la vallée de l'Anglin | 3 |
| 37_013 | Nécropole (église) | Craie de Villedieu | 1 |
| | | Tuffeaux jaunes de la vallée de la Manse | 2 |
| | | Tuffeaux jaunes de Panzoult | 29 |
| | | Tuffeaux blancs | 1 |
| 37_015 | Petit ensemble | Tuffeaux jaunes de la vallée de la Manse | 6 |
| | | Tuffeaux jaunes de Panzoult | 1 |
| 37_016 | Nécropole (église) | Craie de Villedieu | 2 |
| | | Tuffeaux blancs | 3 |
| 37_019 | Nécropole (plein champ) | Tuffeaux jaunes de Panzoult | 1 |
| | Nécropole (plein champ) | Tuffeaux jaunes de Panzoult | 1 |
| 37_023 | Nécropole (église) | Tuffeaux jaunes de la vallée de la Manse | 7 |
| | | Tuffeaux jaunes de Panzoult | 16 |
| | | Tuffeau blanc, faciès de Bourré | 1 |
| 37_024 | Nécropole (église) | Calcaires jurassiques du coteau de Civaux | 2 |
| | | Tuffeaux jaunes de Panzoult | 6 |
| 37_027 | Indéterminé | Tuffeaux jaunes de Panzoult | 1 |
| | | Tuffeaux jaunes de Panzoult | 1 |
| 37_028 | Indéterminé | Tuffeaux jaunes de la vallée de la Manse | 1 |
| | | Tuffeaux jaunes de Panzoult | 2 |
| | | Tuffeaux blancs | 1 |
| 37_032 | Nécropole (église) | Tuffeaux jaunes de la vallée de la Manse | 2 |
| | | Tuffeaux jaunes de Panzoult | 19 |
| | | Tuffeaux blancs | 5 |
| | | Tuffeaux jaunes de Panzoult | 5 |
| | | Tuffeaux blancs | 4 |
| 37_034 | Nécropole (église) | Tuffeaux jaunes de la vallée de la Manse | 1 |
| | | Tuffeaux blancs | 1 |

| | | | |
|--------|-------------------------|--|----|
| 37_036 | Nécropole (église) | Craie de Villedieu | 2 |
| | | Tuffeaux jaunes de la vallée de la Manse | 5 |
| | | Tuffeaux jaunes de Panzoult | 5 |
| 37_040 | Nécropole (plein champ) | Tuffeaux jaunes de la vallée de la Manse | 13 |
| | | Tuffeau blanc, faciès de Bourré | 1 |
| | | Tuffeaux blancs | 1 |
| 37_051 | Indéterminé | Calcaires jurassiques du Nivernais | 1 |
| 37_057 | Nécropole (plein champ) | Tuffeaux jaunes de Panzoult | 11 |
| 37_062 | Petit ensemble | Tuffeaux jaunes de Panzoult | 1 |
| 37_063 | Nécropole (église) | Craie de Villedieu | 1 |
| 37_064 | Nécropole (église) | Calcaires jurassiques de la vallée de l'Anglin | 2 |
| | | Tuffeaux jaunes de la vallée de la Manse | 1 |
| | | Tuffeaux jaunes de Panzoult | 1 |
| 37_065 | Indéterminé | Tuffeaux jaunes de Panzoult | 2 |
| 37_067 | Petit ensemble | Tuffeaux jaunes de Panzoult | 3 |
| 37_069 | Nécropole (église) | Tuffeaux jaunes de la vallée de la Manse | 1 |
| | | Tuffeaux jaunes de Panzoult | 4 |
| 37_073 | Indéterminé | Calcaires jurassiques de la vallée de l'Anglin | 2 |
| | | Tuffeaux jaunes de la vallée de la Manse | 2 |
| | | Tuffeaux blancs | 1 |
| 37_074 | Nécropole (plein champ) | Tuffeaux jaunes de Panzoult | 3 |
| 37_087 | Nécropole (église) | Tuffeaux jaunes de la vallée de la Manse | 1 |
| 37_097 | Nécropole (église) | Calcaires jurassiques de la vallée de l'Anglin | 1 |
| | | Craie de Villedieu | 4 |
| 37_098 | Nécropole (église) | Calcaires jurassiques de la vallée de l'Anglin | 1 |
| | | Craie de Villedieu | 2 |
| | | Tuffeaux jaunes de la vallée de la Manse | 1 |
| | | Tuffeaux jaunes de Panzoult | 2 |
| 37_102 | Indéterminé | Tuffeaux jaunes de Panzoult | 1 |
| 37_106 | Nécropole (église) | Calcaires jurassiques de la vallée de l'Anglin | 2 |
| | | Tuffeaux jaunes de la vallée de la Manse | 1 |
| 37_112 | Nécropole (église) | Craie de Villedieu | 7 |
| 37_113 | Petit ensemble | Tuffeaux jaunes de Panzoult | 1 |
| 37_129 | Indéterminé | Calcaires jurassiques du coteau de Civaux | 2 |
| | | Calcaires jurassiques de la vallée de l'Anglin | 2 |
| | | Tuffeaux jaunes de la vallée de la Manse | 3 |
| | | Tuffeaux jaunes de Panzoult | 8 |
| | | Tuffeaux blancs | 3 |
| 37_160 | Petit ensemble | Tuffeaux jaunes de la vallée de la Manse | 1 |
| | | Tuffeaux jaunes de Panzoult | 1 |
| 41_002 | Nécropole (plein champ) | Tuffeau blanc, faciès de Bourré | 6 |
| 41_003 | Nécropole (église) | Tuffeaux blancs | 3 |
| 41_005 | Nécropole (église) | Calcaires jurassiques de la vallée de l'Anglin (ou Ambrault) | 1 |
| | | Calcaires jurassiques du Nivernais | 2 |
| | | Tuffeaux blancs | 1 |
| 41_006 | Nécropole (plein champ) | Tuffeaux blancs | 3 |

| | | | |
|--------|-------------------------|--|---|
| 41_009 | Nécropole (église) | Tuffeaux blancs | 1 |
| 41_018 | Nécropole (plein champ) | Tuffeau blanc, faciès de Bourré | 2 |
| | | Tuffeaux blancs | 8 |
| 41_020 | Nécropole (église) | Calcaires jurassiques de la vallée de l'Anglin | 3 |
| | | Craie de Villedieu | 1 |
| | | Tuffeau blanc, faciès de Bourré | 1 |
| | | Tuffeaux blancs | 6 |
| 41_021 | Nécropole (église) | Tuffeaux blancs | 1 |
| 41_023 | Nécropole (église) | Calcaires jurassiques de la vallée de l'Anglin (ou Ambrault) | 1 |
| | | Grès permians du Bourbonnais | 1 |
| | | Calcaires jurassiques du Nivernais | 1 |
| 41_025 | Nécropole (église) | Calcaires jurassiques de la vallée de l'Anglin (ou Ambrault) | 1 |
| | | Tuffeaux blancs | 1 |
| 41_033 | Nécropole (église) | Tuffeaux blancs | 1 |
| 41_034 | Nécropole (église) | Tuffeaux blancs | 1 |
| 41_035 | Nécropole (église) | Tuffeaux blancs | 1 |
| 41_036 | Nécropole (église) | Tuffeaux blancs | 1 |
| 41_037 | Nécropole (église) | Calcaire jurassique de Vinon | 2 |
| 41_038 | Nécropole (église) | Grès permians du Bourbonnais | 1 |
| 41_039 | Nécropole (église) | Calcaires jurassiques de la vallée de l'Anglin (ou Ambrault) | 1 |
| | | Grès permians du Bourbonnais | 1 |
| | | Tuffeaux blancs | 1 |
| 41_040 | Nécropole (église) | Tuffeaux blancs | 1 |
| 41_041 | Nécropole (église) | Grès permians du Bourbonnais | 1 |
| | | Tuffeaux blancs | 1 |
| 41_042 | Nécropole (église) | Calcaires jurassiques de la vallée de l'Anglin (ou Ambrault) | 1 |
| 41_044 | Nécropole (église) | Calcaires jurassiques de la vallée de l'Anglin (ou Ambrault) | 1 |
| | | Grès permians du Bourbonnais | 1 |
| 41_045 | Nécropole (église) | Grès permians du Bourbonnais | 1 |
| 41_046 | Nécropole (église) | Grès permians du Bourbonnais | 1 |
| | | Tuffeaux blancs | 1 |
| | | Calcaire jurassique de Vinon | 2 |
| 41_047 | Nécropole (église) | Tuffeaux blancs | 2 |
| 41_048 | Nécropole (église) | Calcaires jurassiques de la vallée de l'Anglin (ou Ambrault) | 1 |
| | | Grès permians du Bourbonnais | 1 |
| | | Calcaires jurassiques du Nivernais | 1 |
| 41_049 | Nécropole (église) | Calcaires jurassiques du Nivernais | 2 |
| | | Tuffeaux blancs | 1 |
| 41_050 | Nécropole (église) | Calcaires jurassiques du Nivernais | 2 |
| | | Tuffeaux blancs | 1 |
| 41_051 | Nécropole (église) | Calcaires jurassiques de la vallée de l'Anglin (ou Ambrault) | 1 |
| | | Grès permians du Bourbonnais | 1 |
| | | Tuffeaux blancs | 1 |
| 41_052 | Nécropole (église) | Tuffeaux blancs | 1 |
| 41_053 | Nécropole (église) | Calcaires jurassiques de la vallée de l'Anglin (ou Ambrault) | 1 |
| 41_064 | Nécropole (plein champ) | Tuffeaux blancs | 2 |

| | | | |
|--------|-------------------------|--|----|
| 41_066 | Indéterminé | Grès permians du Bourbonnais | 4 |
| 41_067 | Nécropole (plein champ) | Grès roussard du Perche | 1 |
| 41_071 | Nécropole (plein champ) | Craie de Villedieu | 1 |
| | | Grès roussard du Perche | 2 |
| 41_081 | Nécropole (plein champ) | Craie de Villedieu | 42 |
| | | Grès roussard du Perche | 2 |
| 41_090 | Petit ensemble | Craie de Villedieu | 3 |
| 41_091 | Indéterminé | Tuffeaux jaunes de la vallée de la Manse | 2 |
| 41_094 | Indéterminé | Calcaires jurassiques de la vallée de l'Anglin | 1 |
| 41_098 | Indéterminé | Grès roussard du Perche | 1 |
| 41_105 | Indéterminé | Calcaires jurassiques du Nivernais | 2 |
| | | Grès roussard du Perche | 1 |
| | | Tuffeaux blancs | 1 |
| 45_002 | Nécropole (église) | Calcaires jurassiques de la vallée de l'Anglin | 4 |
| | | Grès permians du Bourbonnais | 13 |
| | | Tuffeaux jaunes de la vallée de la Manse | 1 |
| | | Calcaires jurassiques du Nivernais | 6 |
| | | Tuffeau blanc, faciès de Bourré | 1 |
| | | Tuffeaux blancs | 1 |
| | | Calcaire jurassique de Vinon | 2 |
| 45_005 | Nécropole (église) | Calcaires jurassiques du Nivernais | 1 |
| 45_008 | Nécropole (église) | Grès permians du Bourbonnais | 4 |
| | | Calcaires jurassiques du Nivernais | 1 |
| 45_009 | Nécropole (église) | Calcaires jurassiques de la vallée de l'Anglin | 1 |
| | | Calcaires jurassiques du Nivernais | 15 |
| | | Tuffeau blanc, faciès de Bourré | 1 |
| 45_010 | Nécropole (église) | Calcaires jurassiques du Nivernais | 2 |
| 45_012 | Nécropole (église) | Calcaires jurassiques de la vallée de l'Anglin | 2 |
| | | Grès permians du Bourbonnais | 1 |
| | | Calcaires jurassiques du Nivernais | 11 |
| | | Tuffeaux blancs | 5 |
| | | Calcaire jurassique de Vinon | 2 |
| 45_013 | Nécropole (église) | Calcaires jurassiques de la vallée de l'Anglin | 1 |
| | | Calcaires jurassiques du Nivernais | 3 |
| | | Tuffeaux blancs | 1 |
| 45_020 | Nécropole (église) | Calcaires jurassiques de la vallée de l'Anglin (ou Ambrault) | 1 |
| | | Grès permians du Bourbonnais | 1 |
| 45_021 | Nécropole (plein champ) | Calcaires jurassiques du Nivernais | 1 |
| 45_022 | Nécropole (église) | Grès permians du Bourbonnais | 1 |
| | | Calcaires jurassiques du Nivernais | 4 |
| 45_024 | Nécropole (église) | Calcaires jurassiques du Nivernais | 4 |
| 45_025 | Nécropole (église) | Calcaires jurassiques du Nivernais | 3 |
| 45_030 | Nécropole (église) | Calcaires jurassiques du Nivernais | 2 |
| 45_031 | Nécropole (église) | Calcaires jurassiques du Nivernais | 1 |
| 45_032 | Nécropole (église) | Calcaires jurassiques du Nivernais | 1 |
| 45_033 | Nécropole (église) | Calcaires jurassiques du Nivernais | 1 |

| | | | |
|--------|-------------------------|--|----|
| 45_034 | Nécropole (église) | Calcaires jurassiques du Nivernais | 1 |
| 45_035 | Nécropole (église) | Calcaires jurassiques de la vallée de l'Anglin (ou Ambrault) | 1 |
| | | Calcaires jurassiques du Nivernais | 1 |
| 45_036 | Nécropole (église) | Calcaires jurassiques du Nivernais | 1 |
| 45_037 | Nécropole (église) | Calcaire jurassique de Vinon | 1 |
| 45_038 | Nécropole (église) | Calcaires jurassiques du Nivernais | 1 |
| 45_039 | Nécropole (église) | Calcaires jurassiques du Nivernais | 1 |
| 45_040 | Nécropole (église) | Calcaires jurassiques de la vallée de l'Anglin (ou Ambrault) | 1 |
| | | Grès permians du Bourbonnais | 1 |
| 45_041 | Nécropole (église) | Calcaires jurassiques du Nivernais | 1 |
| 45_042 | Nécropole (église) | Calcaires jurassiques du Nivernais | 1 |
| 45_043 | Nécropole (église) | Calcaires jurassiques du Nivernais | 1 |
| 45_044 | Nécropole (église) | Calcaires jurassiques de la vallée de l'Anglin (ou Ambrault) | 1 |
| | | Calcaires jurassiques de la vallée de l'Anglin | 4 |
| | | Grès permians du Bourbonnais | 1 |
| | | Calcaires jurassiques du Nivernais | 1 |
| 45_045 | Nécropole (église) | Calcaires jurassiques de la vallée de l'Anglin (ou Ambrault) | 1 |
| | | Grès permians du Bourbonnais | 1 |
| | | Calcaires jurassiques du Nivernais | 2 |
| 45_046 | Nécropole (église) | Calcaires jurassiques de la vallée de l'Anglin (ou Ambrault) | 1 |
| | | Calcaires jurassiques du Nivernais | 1 |
| 45_047 | Nécropole (église) | Calcaires jurassiques de la vallée de l'Anglin (ou Ambrault) | 1 |
| 45_048 | Nécropole (église) | Calcaires jurassiques du Nivernais | 1 |
| 45_049 | Nécropole (église) | Grès permians du Bourbonnais | 1 |
| | | Calcaires jurassiques du Nivernais | 3 |
| 45_050 | Nécropole (église) | Calcaires jurassiques du Nivernais | 1 |
| 45_051 | Nécropole (église) | Calcaires jurassiques de la vallée de l'Anglin (ou Ambrault) | 1 |
| | | Calcaires jurassiques du Nivernais | 3 |
| 45_052 | Nécropole (église) | Calcaires jurassiques du Nivernais | 1 |
| 45_053 | Nécropole (église) | Calcaires jurassiques du Nivernais | 1 |
| 45_054 | Nécropole (église) | Calcaires jurassiques de la vallée de l'Anglin (ou Ambrault) | 1 |
| | | Grès permians du Bourbonnais | 1 |
| 45_055 | Nécropole (église) | Calcaires jurassiques du Nivernais | 2 |
| 45_056 | Nécropole (église) | Grès permians du Bourbonnais | 1 |
| | | Calcaires jurassiques du Nivernais | 1 |
| 45_057 | Indéterminé | Calcaires jurassiques du Nivernais | 1 |
| 45_058 | Nécropole (église) | Calcaires jurassiques du Nivernais | 21 |
| | | Tuffeau blanc, faciès de Bourré | 2 |
| 45_059 | Petit ensemble | Grès permians du Bourbonnais | 2 |
| 45_065 | Petit ensemble | Calcaires jurassiques du Nivernais | 1 |
| 45_068 | Sépulture isolée | Calcaires jurassiques du Nivernais | 2 |
| 45_069 | Nécropole (église) | Grès permians du Bourbonnais | 1 |
| 45_071 | Nécropole (plein champ) | Grès permians du Bourbonnais | 1 |
| 45_072 | Petit ensemble | Calcaires jurassiques du Nivernais | 7 |
| 45_076 | Petit ensemble | Calcaires jurassiques du Nivernais | 1 |
| 45_077 | Nécropole (église) | Grès permians du Bourbonnais | 1 |

| | | | |
|--------|-------------------------|--|----|
| 45_079 | Nécropole (église) | Calcaires jurassiques du Nivernais | 2 |
| 45_081 | Nécropole (église) | Calcaires jurassiques du Nivernais | 1 |
| 45_087 | Nécropole (église) | Calcaires jurassiques de la vallée de l'Anglin (ou Ambrault) | 1 |
| | | Grès permians du Bourbonnais | 3 |
| | | Calcaires jurassiques du Nivernais | 3 |
| 45_098 | Nécropole (église) | Calcaires jurassiques du Nivernais | 2 |
| 45_100 | Indéterminé | Calcaires jurassiques du Nivernais | 5 |
| 45_106 | Indéterminé | Calcaires jurassiques du Nivernais | 10 |
| 45_107 | Nécropole (église) | Calcaires jurassiques de la vallée de l'Anglin (ou Ambrault) | 1 |
| | | Calcaires jurassiques du Nivernais | 1 |
| | | Tuffeaux blancs | 1 |
| 45_109 | Nécropole (église) | Calcaires jurassiques du Nivernais | 2 |
| 45_110 | Nécropole (église) | Calcaires jurassiques du Nivernais | 2 |
| 45_112 | Nécropole (église) | Calcaires jurassiques du Nivernais | 2 |
| 45_113 | Nécropole (église) | Calcaires jurassiques du Nivernais | 1 |
| 45_114 | Nécropole (église) | Calcaires jurassiques du Nivernais | 1 |
| 45_116 | Nécropole (église) | Grès permians du Bourbonnais | 2 |
| | | Calcaires jurassiques du Nivernais | 2 |
| 45_119 | Nécropole (église) | Calcaires jurassiques du Nivernais | 1 |
| 45_124 | Nécropole (église) | Calcaires jurassiques du Nivernais | 1 |
| 45_136 | Petit ensemble | Calcaires jurassiques du Nivernais | 1 |
| 45_139 | Indéterminé | Calcaires jurassiques du Nivernais | 2 |
| 45_140 | Nécropole (église) | Calcaires jurassiques du Nivernais | 2 |
| 45_144 | Nécropole (église) | Calcaires jurassiques du Nivernais | 1 |
| 45_145 | Nécropole (église) | Calcaires jurassiques du Nivernais | 1 |
| 45_150 | Nécropole (plein champ) | Calcaires jurassiques du Nivernais | 1 |
| 45_155 | Nécropole (église) | Calcaires jurassiques du Nivernais | 1 |
| 45_157 | Sépulture isolée | Calcaires jurassiques du Nivernais | 2 |
| 45_158 | Nécropole (église) | Calcaires jurassiques du Nivernais | 1 |
| 45_159 | Nécropole (église) | Calcaires jurassiques du Nivernais | 1 |
| 45_160 | Nécropole (église) | Calcaires jurassiques du Nivernais | 3 |
| 45_161 | Nécropole (église) | Calcaires jurassiques du Nivernais | 1 |
| 45_162 | Nécropole (église) | Calcaires jurassiques du Nivernais | 2 |
| 45_163 | Nécropole (église) | Calcaires jurassiques du Nivernais | 1 |
| 45_164 | Nécropole (église) | Calcaires jurassiques du Nivernais | 1 |
| 45_165 | Nécropole (église) | Calcaires jurassiques du Nivernais | 1 |
| 45_166 | Nécropole (église) | Calcaires jurassiques du Nivernais | 1 |
| 45_167 | Nécropole (église) | Calcaires jurassiques du Nivernais | 3 |
| 45_168 | Nécropole (église) | Calcaires jurassiques du Nivernais | 1 |
| 45_169 | Nécropole (église) | Calcaires jurassiques du Nivernais | 2 |
| 45_170 | Nécropole (église) | Calcaires jurassiques du Nivernais | 1 |
| 45_171 | Nécropole (église) | Calcaires jurassiques du Nivernais | 1 |
| 45_172 | Nécropole (église) | Calcaires jurassiques du Nivernais | 2 |
| 45_184 | Indéterminé | Calcaires jurassiques du Nivernais | 1 |
| 86_002 | Nécropole (église) | Calcaires jurassiques du coteau de Civaux | 6 |
| | | Calcaires jurassiques de la vallée de l'Anglin | 6 |

| | | | |
|--------|-------------------------|--|-----|
| 86_004 | Nécropole (église) | Calcaires jurassiques du coteau de Civaux | 2 |
| | | Calcaires jurassiques de la vallée de l'Anglin | 23 |
| | | Calcaires oolithiques dits de Chauvigny | 43 |
| | | Tuffeaux jaunes de la vallée de la Manse | 4 |
| 86_005 | Nécropole (église) | Calcaires jurassiques du coteau de Civaux | 870 |
| | | Calcaires jurassiques de la vallée de l'Anglin | 40 |
| | | Calcaires oolithiques dits de Chauvigny | 68 |
| 86_007 | Nécropole (église) | Calcaires jurassiques du coteau de Civaux | 1 |
| | | Calcaires jurassiques de la vallée de l'Anglin | 3 |
| | | Calcaires oolithiques dits de Chauvigny | 27 |
| 86_008 | Indéterminé | Calcaires jurassiques du coteau de Civaux | 1 |
| 86_010 | Indéterminé | Calcaires jurassiques du coteau de Civaux | 2 |
| 86_013 | Indéterminé | Calcaires jurassiques de la vallée de l'Anglin | 1 |
| 86_016 | Indéterminé | Calcaires jurassiques du coteau de Civaux | 1 |
| 86_017 | Nécropole (église) | Calcaires jurassiques du coteau de Civaux | 1 |
| | | Calcaires jurassiques de la vallée de l'Anglin | 1 |
| 86_022 | Nécropole (église) | Calcaires jurassiques de la vallée de l'Anglin | 1 |
| 86_027 | Nécropole (église) | Tuffeaux jaunes de la vallée de la Manse | 1 |
| 86_032 | Nécropole (église) | Calcaires oolithiques dits de Chauvigny | 1 |
| 86_033 | Nécropole (église) | Calcaires jurassiques de la vallée de l'Anglin | 1 |
| | | Calcaires oolithiques dits de Chauvigny | 1 |
| | | Tuffeaux jaunes de la vallée de la Manse | 2 |
| 86_034 | Nécropole (église) | Calcaires jurassiques de la vallée de l'Anglin | 2 |
| 86_035 | Nécropole (église) | Calcaires jurassiques de la vallée de l'Anglin | 3 |
| | | Calcaires oolithiques dits de Chauvigny | 7 |
| 86_036 | Nécropole (église) | Calcaires jurassiques du coteau de Civaux | 1 |
| | | Calcaires jurassiques de la vallée de l'Anglin | 1 |
| 86_038 | Nécropole (église) | Calcaires jurassiques du coteau de Civaux | 3 |
| | | Calcaires jurassiques de la vallée de l'Anglin | 6 |
| | | Tuffeaux jaunes de la vallée de la Manse | 3 |
| 86_040 | Nécropole (plein champ) | Calcaires jurassiques du coteau de Civaux | 10 |
| | | Calcaires jurassiques de la vallée de l'Anglin | 5 |
| 86_041 | Nécropole (église) | Calcaires jurassiques de la vallée de l'Anglin | 5 |
| | | Calcaires oolithiques dits de Chauvigny | 1 |
| 86_045 | Nécropole (église) | Calcaires oolithiques dits de Chauvigny | 3 |
| 86_050 | Nécropole (église) | Calcaires jurassiques de la vallée de l'Anglin | 10 |
| 86_055 | Indéterminé | Calcaires jurassiques de la vallée de l'Anglin | 1 |
| | | Tuffeaux jaunes de la vallée de la Manse | 1 |
| 86_061 | Nécropole (église) | Calcaires jurassiques du coteau de Civaux | 2 |
| 86_062 | Nécropole (église) | Calcaires jurassiques du coteau de Civaux | 1 |
| | | Calcaires oolithiques dits de Chauvigny | 1 |
| 86_066 | Petit ensemble | Calcaires jurassiques du coteau de Civaux | 7 |
| | | Calcaires oolithiques dits de Chauvigny | 2 |
| 86_068 | Nécropole (église) | Calcaires oolithiques dits de Chauvigny | 1 |
| 86_072 | Nécropole (église) | Calcaires jurassiques de la vallée de l'Anglin | 3 |
| 86_074 | Nécropole (église) | Calcaires jurassiques de la vallée de l'Anglin | 1 |

| | | | |
|--------|--------------------|--|----|
| | | Calcaires oolithiques dits de Chauvigny | 4 |
| 86_081 | Nécropole (église) | Calcaires jurassiques de la vallée de l'Anglin | 3 |
| 86_086 | Nécropole (église) | Calcaires jurassiques de la vallée de l'Anglin | 2 |
| 86_088 | Indéterminé | Calcaires jurassiques du coteau de Civaux | 2 |
| 86_091 | Nécropole (église) | Calcaires jurassiques du coteau de Civaux | 1 |
| | | Calcaires jurassiques de la vallée de l'Anglin | 4 |
| | | Calcaires oolithiques dits de Chauvigny | 1 |
| 86_102 | Indéterminé | Calcaires jurassiques du coteau de Civaux | 1 |
| 86_105 | Indéterminé | Tuffeaux jaunes de la vallée de la Manse | 1 |
| 86_106 | Indéterminé | Calcaires jurassiques du coteau de Civaux | 1 |
| | | Calcaires jurassiques de la vallée de l'Anglin | 1 |
| 86_119 | Indéterminé | Calcaires jurassiques du coteau de Civaux | 1 |
| 86_120 | Petit ensemble | Calcaires oolithiques dits de Chauvigny | 3 |
| 86_122 | Nécropole (église) | Calcaires jurassiques du coteau de Civaux | 1 |
| | | Calcaires jurassiques de la vallée de l'Anglin | 3 |
| | | Tuffeaux jaunes de la vallée de la Manse | 1 |
| 86_124 | Nécropole (église) | Calcaires jurassiques de la vallée de l'Anglin | 1 |
| 86_125 | Indéterminé | Calcaires jurassiques du coteau de Civaux | 1 |
| 86_126 | Indéterminé | Calcaires jurassiques de la vallée de l'Anglin | 1 |
| 86_127 | Indéterminé | Calcaires jurassiques du coteau de Civaux | 1 |
| | | Calcaires oolithiques dits de Chauvigny | 1 |
| 86_128 | Indéterminé | Calcaires jurassiques du coteau de Civaux | 31 |
| | | Calcaires jurassiques de la vallée de l'Anglin | 12 |
| | | Calcaires oolithiques dits de Chauvigny | 1 |
| | | Tuffeaux jaunes de la vallée de la Manse | 1 |

Tab. 18 : Diversité des matériaux identifiés sur les sites funéraires de la zone d'étude

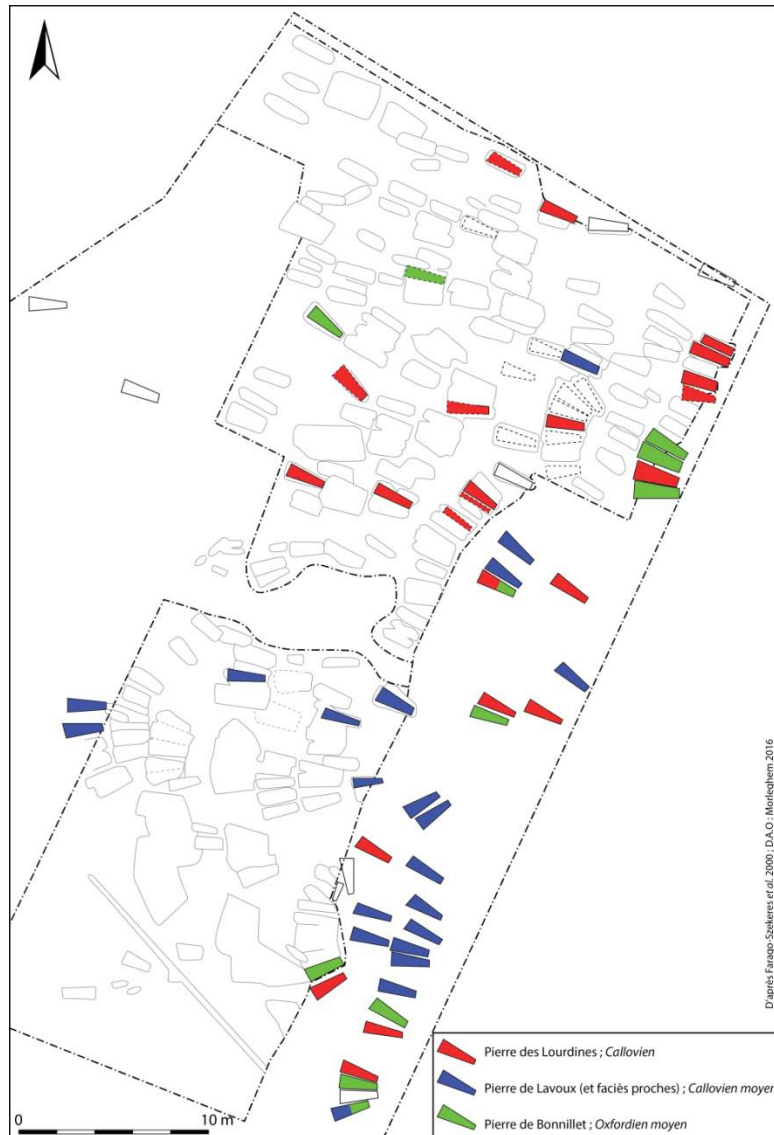


Fig. 193 : Plan de répartition des sarcophages de la nécropole de Mamort (Saint-Georges-les-Baillargeaux), en fonction de la roche dans laquelle ils sont façonnés

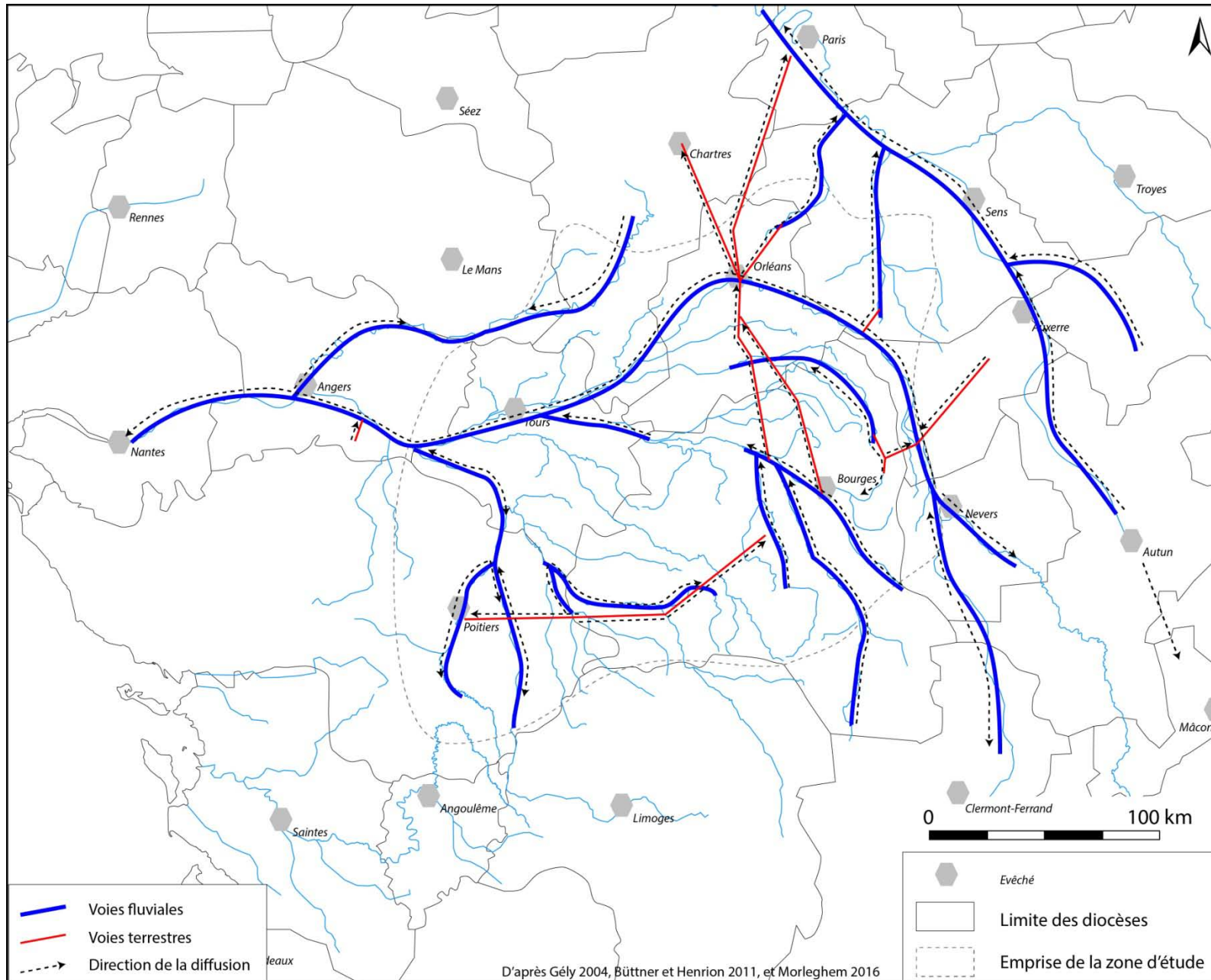


Fig. 194 : Hypothèse des principaux axes fluviaux et routiers empruntés diffusion des sarcophages de pierre

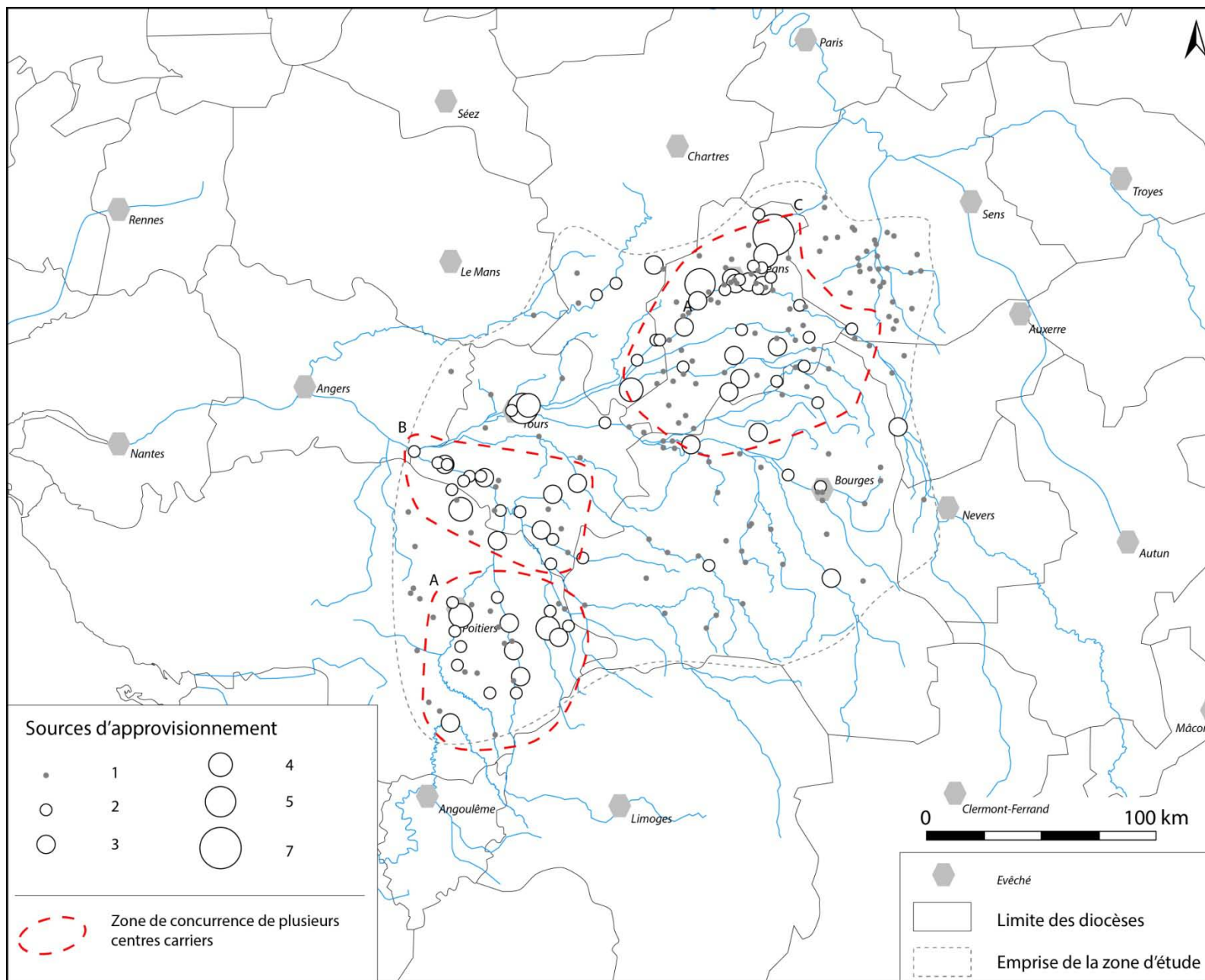


Fig. 195 : Nombre de matériaux identifiés sur les sites funéraires de la région et mise en évidence de trois zones concurrentielles

Production et diffusion des sarcophages de pierre de l'Antiquité tardive et du haut Moyen Âge dans le Sud du Bassin parisien

Résumé

La fabrication de sarcophages constitue, entre la fin du 5^e s. et jusqu'au 9^e s., une activité artisanale et économique importante, témoin de réseaux économiques et d'aires culturelles locaux et régionaux. L'inventaire et l'étude des sarcophages en contexte funéraire a permis d'établir une typologie détaillée fondée sur des critères morphologiques, décoratifs et technologiques. Sur les quelques 2500 sarcophages étudiés, un faible nombre est bien daté. Une typo-chronologie relative a pu être établie, qui s'appuie sur des exemplaires bien calés chronologiquement et sur l'évolution supposée des formes et modèles ornementaux. De l'étude des lieux de production, dont quatre centres carriers ont été repérés et étudiés, il ressort un savoir-faire important et une organisation très raisonnée de la production. La confrontation des données issues de l'étude des sarcophages et des carrières a permis de restituer des aires de diffusion d'importance micro-locale (Civaux ou Chauvigny par exemple), locale (Panzoult, la vallée de la Manse ou les productions en grès roussards), régionale (la vallée de l'Anglin), voire supra-régionale (productions bourbonnaises et nivernaises, dont les carrières sont situées en dehors de la zone d'étude).

Mots-clés : sarcophage, carrière, typologie, pétrographie, Antiquité tardive, haut Moyen Âge, Berry, Touraine, Poitou, Orléanais

Abstract

The sarcophagi production is, between the end of the fifth century to the ninth century, an artisanal and economic activity of major importance, witness of economic networks and local and regional cultural area. The inventory and study of sarcophagi in funerary context allowed us to establish a detailed typology founded on morphological, decorative and technological criteria. On some 2500 sarcophagi studied, only a few are well dated. A relative typo-chronology has been established, based on best datations and on the evolution of shapes and decorative models. From the study of production sites, including four quarrying center were studied, we can observe an important expertise and a very rational organization of production. The confrontation of study data from sarcophagi and quarries has allowed us to reconstitute several diffusion areas: micro-local (Civaux or Chauvigny), local (Panzoult, valley of the Manse or red sandstone of Loir valley) or regional (Bourbonnais or Nivernais productions, outside our study area).

Key-words : sarcophagi, quarry, typology, petrography, late Antiquity, early Middle Ages, Berry, Touraine, Poitou, Orléanais